

6 Membrana hiperelástica anular

Neste capítulo apresenta-se o estudo de uma membrana hiperelástica de geometria anular. Para isso, se considera na formulação apresentada anteriormente no terceiro capítulo um raio indeformado interno ρ_o diferente de zero e que a membrana está inicialmente fixa ao longo deste bordo interno.

Inicialmente, adota-se a simplificação da espessura considerando-a constante e avaliam-se a resposta estática e as vibrações lineares e não lineares. Posteriormente, considera-se a variação radial da massa específica e da espessura, e avalia-se a sua influência nas respostas da membrana hiperelástica anular.

6.1. Membrana anular de espessura constante

6.1.1. Análise estática

Por ser a equação diferencial da membrana, apresentada anteriormente em (3.34), altamente não-linear utiliza-se a integração numérica para a resolução deste sistema. Assim, o sistema de equações de primeira ordem, apresentado em (3.36) e (3.37) é utilizado juntamente com as condições de contorno (3.38) e (3.39) na resolução do problema através da integração numérica.

Para os resultados numéricos considera-se uma membrana de raio externo indeformado $R_o = 1 m$, espessura indeformada $h = 0.001 m$ e dois valores do raio interno $\rho_o = 0.2 m$ e $\rho_o = 0.3 m$. O material da membrana é o mesmo considerado anteriormente.

Para a solução via método dos elementos finitos, utiliza-se, no programa comercial Abaqus®, elementos de membrana M3D4R e M3D3. Após a análise de convergência em termos das tensões principais discretiza-se a membrana anular com uma malha elementos de comprimento $L_{ele} < 0.028 R_o$. Isso gera para a

membrana com raio interno $\rho_o = 0.2 m$ uma malha de 9789 elementos e para a membrana com $\rho_o = 0.3 m$ uma malha de 7070 elementos.

Dessa forma, obteve-se a configuração tracionada da membrana anular para diferentes valores do coeficiente de tração radial (δ). Na Figura 6.1 apresenta-se a variação do comprimento radial tracionado obtido pela integração numérica (IN) e pelo método dos elementos finitos (MEF), para três diferentes valores de deslocamento aplicado.

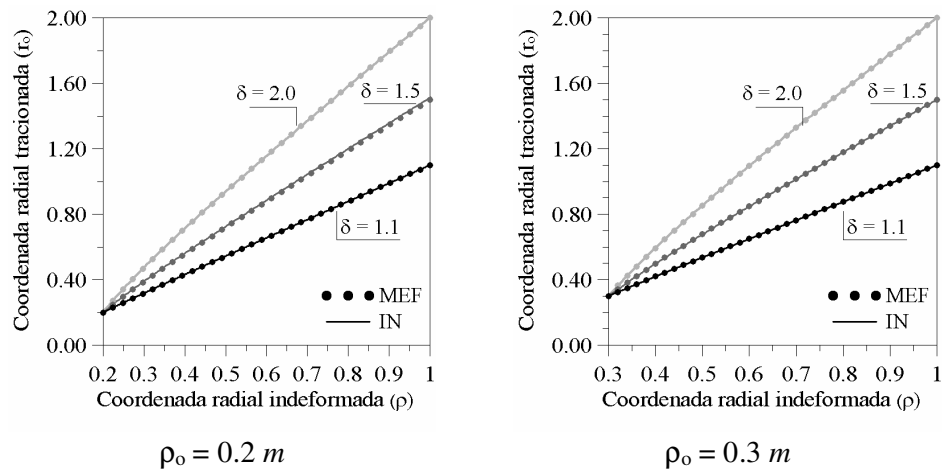


Figura 6.1 – Variação do comprimento radial tracionado da membrana anular.

Após obter a configuração tracionada da membrana através da integração numérica, a coordenada radial tracionada da membrana anular pode ser aproximada pelo método dos mínimos quadrados como:

$$r_o(\rho) = A \log(\rho) + B \rho^2 \log \rho + C \rho^2 + D \rho + E \quad (6.1)$$

onde A , B , C , D e E são constantes que dependem da propriedades da membrana anular tracionada.

As membranas anulares apresentadas na Figura 6.1 possuem as seguintes coordenadas radiais tracionadas em função da coordenada indeformada ρ :

- $\rho_o = 0.2 m$

$$\delta = 1.1 \quad r_o(\rho) = 0.045 \log(\rho) - 0.066 \rho^2 \log(\rho) + 0.111 \rho^2 + 0.905 \rho + 0.084 \quad (6.2)$$

$$\delta = 1.5 \quad r_o(\rho) = 0.231 \log(\rho) - 0.331 \rho^2 \log(\rho) + 0.559 \rho^2 + 0.529 \rho + 0.423 \quad (6.3)$$

$$\delta = 2.0 \quad r_o(\rho) = 0.426 \log(\rho) - 0.580 \rho^2 \log(\rho) + 0.987 \rho^2 + 0.252 \rho + 0.760 \quad (6.4)$$

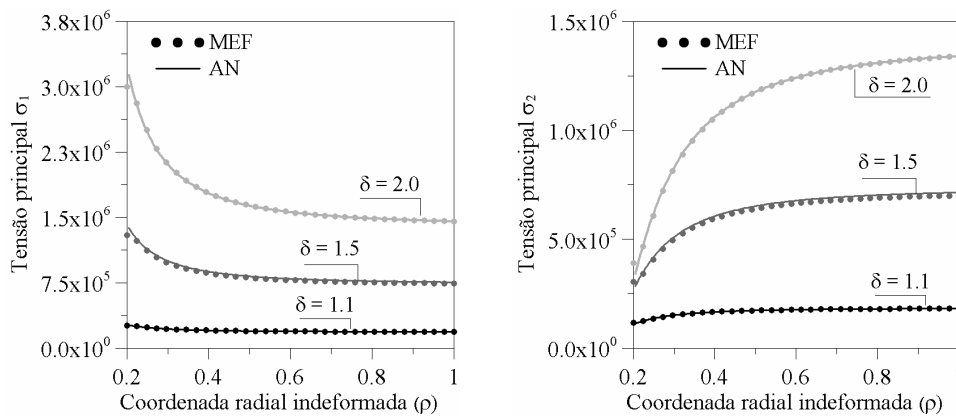
• $\rho_o = 0.3 m$

$\delta = 1.1 \quad r_o(\rho) = 0.093 \log(\rho) - 0.104 \rho^2 \log(\rho) + 0.187 \rho^2 + 0.754 \rho + 0.158 \quad (6.5)$

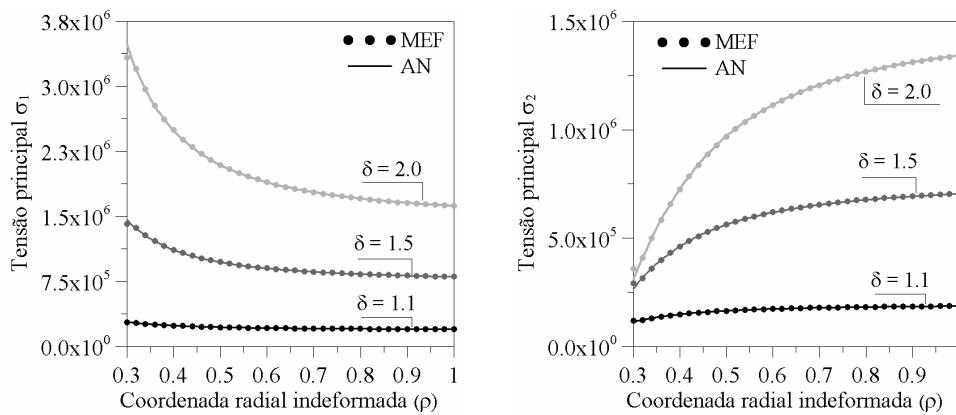
$\delta = 1.5 \quad r_o(\rho) = 0.468 \log(\rho) - 0.522 \rho^2 \log(\rho) + 0.937 \rho^2 - 0.228 \rho + 0.791 \quad (6.6)$

$\delta = 2.0 \quad r_o(\rho) = 0.854 \log(\rho) - 0.887 \rho^2 \log(\rho) + 1.609 \rho^2 - 0.997 \rho + 1.387 \quad (6.7)$

Os valores das tensões principais σ_1 e σ_2 , obtidos para a membrana anular através das equações (3.30) e (3.31) e por elementos finitos, são apresentados na Figura 6.2. Observa-se que, quanto mais tracionada a membrana, maior a variação das tensões principais e que, os valores da tensão principal σ_1 diminuem ao longo do coordenada radial indeformada, enquanto a variação de σ_2 ao longo da coordenada radial indeformada é crescente.



$\rho_o = 0.2$



$\rho_o = 0.3$

Figura 6.2 – Tensões principais (N/m^2) para a membrana anular tracionada de espessura indeformada constante.

Ressalta-se que, tanto pelos resultados numéricos quanto pelas equações analíticas, se observou que as tensões principais para a membrana anular tracionada (σ_1 e σ_2) e a coordenada radial tracionada (r_o) independem da espessura da membrana indeformada.

Observa-se em todos os casos apresentados uma boa conformidade entre os resultados obtidos analiticamente e pelo método dos elementos finitos.

6.1.2. Análise linear da vibração livre

Para a análise linear, parte-se da equação de movimento na direção transversal da membrana (3.48) na qual é substituído o raio da membrana tracionada (6.1), obtendo-se a seguinte equação de movimento linear:

$$\begin{aligned}
 & \left[\frac{-1 + \frac{\rho^2}{(A/\rho + 2B\rho \log \rho + B\rho + 2C\rho + D)^4} *}{1} \right] \frac{\partial^2 w(\rho, \theta, t)}{\partial \rho^2} + \\
 & \left[\frac{\frac{1}{\rho} - \frac{4\rho^2}{(A/\rho + 2B\rho \log \rho + B\rho + 2C\rho + D)^5} *}{(A \log \rho + B\rho^2 \log \rho + C\rho^2 + D\rho + E)^2} + \right. \\
 & \quad \left. \frac{(-A/\rho^2 + 2B \log \rho + 3B + 2C)}{(A \log \rho + B\rho^2 \log \rho + C\rho^2 + D\rho + E)^2} + \right. \\
 & \quad \left. \frac{3\rho}{(A/\rho + 2B\rho \log \rho + B\rho + 2C\rho + D)^4} * \right] \frac{\partial w(\rho, \theta, t)}{\partial \rho} + \\
 & \left[\frac{1}{(A \log \rho + B\rho^2 \log \rho + C\rho^2 + D\rho + E)^2} + \right. \\
 & \quad \left. \frac{2\rho^2}{(A/\rho + 2B\rho \log \rho + B\rho + 2C\rho + D)^3} * \right] \frac{\partial^2 w(\rho, \theta, t)}{\partial \theta^2} + \\
 & \left[\frac{-\frac{1}{\rho^2} + \frac{\rho^2}{(A/\rho + 2B\rho \log \rho + B\rho + 2C\rho + D)^2} *}{1} \right] \frac{\partial^2 w(\rho, \theta, t)}{\partial \theta^2} \Big] 2C_1 + \\
 & \Gamma \left[\frac{\partial^2 w(\rho, \theta, t)}{\partial t^2} \right] = 0
 \end{aligned} \tag{6.8}$$

Para a solução do problema, partiu-se da semelhança entre a equação (6.8) e a equação clássica de ondas (Kreyszig, 2006). Considerando que os termos em função de ρ que acompanham o deslocamento transversal w em (6.8) representam uma tensão S atuante na direção radial e podem ser aproximados por esta tensão, a equação (6.8) pode ser aproximada por:

$$\frac{\partial^2 w(\rho, \theta, t)}{\partial t^2} = \frac{S}{\Gamma} \left(\frac{\partial^2 w(\rho, \theta, t)}{\partial \rho^2} + \frac{1}{\rho} \frac{\partial w(\rho, \theta, t)}{\partial \rho} + \frac{1}{\rho^2} \frac{\partial^2 w(\rho, \theta, t)}{\partial \theta^2} \right) \quad (6.9)$$

A equação (6.9) é similar à equação clássica de ondas que pode ser resolvida utilizando a separação das variáveis ρ , θ e t (Kreyszig, 2006) juntamente com as condições de contorno do problema. Então o deslocamento transversal pode ser descrito como $w(\rho, \theta, t) = G(\rho)Q(\theta)Y(t)$ e, a equação (6.9) torna-se:

$$\frac{\ddot{Y}(t)}{Y(t)} \frac{\Gamma}{S} = \left(G(\rho)_{,\rho\rho} Q(\theta) + \frac{1}{\rho} G(\rho)_{,\rho} Q(\theta) + \frac{1}{\rho^2} G(\rho) Q(\theta)_{,\theta\theta} \right) \quad (6.10)$$

Resolvendo a equação (6.10) (Kreyszig, 2006) tem-se que, o deslocamento transversal $w(\rho, \theta, t)$ pode ser aproximado pela solução da equação clássica de ondas dada por:

$$w(\rho, \theta, t) = A_{mn} \left[C J_n \left(\frac{\Lambda_{mn} \rho}{R_o} \right) - Y_n \left(\frac{\Lambda_{mn} \rho}{R_o} \right) \right] \cos(n\theta) \cos(\omega t) \quad (6.11)$$

onde:

$$C = \frac{Y_n(\Lambda_{mn})}{J_n(\Lambda_{mn})} \quad (6.12)$$

$$L_m(\Lambda_{mn}) = J_n \left(\frac{\rho_o}{R_o} \Lambda_{mn} \right) Y_n(\Lambda_{mn}) - J_n(\Lambda_{mn}) Y_n \left(\frac{\rho_o}{R_o} \Lambda_{mn} \right)$$

e A_{mn} corresponde à amplitude modal; J_n é a função Bessel de primeiro tipo de ordem n ; Y_n é a função Bessel de segundo tipo de ordem n ; m , o número de semi-ondas radiais; n , o número de ondas circunferenciais; Λ_{mn} é a m -ésima raiz de $L_m(\Lambda_{mn})$; R_o é o raio da membrana indeformada; t é o tempo e ω_{mn} é a frequência de vibração.

Na Figura 6.3 compara-se favoravelmente o deslocamento transversal apresentado em (6.11) com o resultado obtido por elementos finitos para a membrana anular com $\delta = 1.1$, $\rho_o = 0.2 m$.

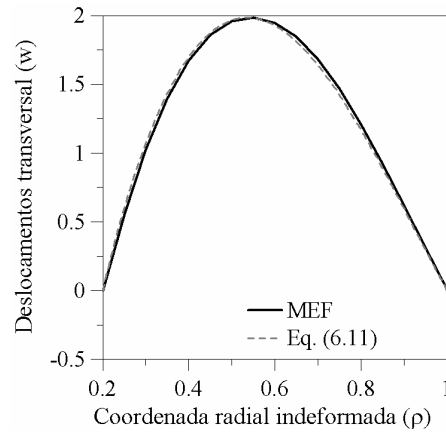


Figura 6.3 – Deslocamento transversal (m) da membrana anular pré-tensionada em vibração livre em um certo tempo t ($\delta = 1.1, \rho_o = 0.2 m$).

Substituindo o deslocamento transversal (6.11) na equação de movimento (6.8), obtém-se a seguinte expressão para a frequência natural da membrana anular:

$$\omega_{mn} = \Lambda_{mn} \sqrt{\frac{2 C_1}{R_o^2 \Gamma} \left(1 - \frac{1}{\delta^2 (r'_o(R_o))^4} \right)} \quad (6.13)$$

Considerando o limite de $\delta \rightarrow \infty$, conclui-se que, quando o raio tracionado aumenta, as frequências convergem para:

$$\omega_{mn}(\delta \rightarrow \infty) = \Lambda_{mn} \sqrt{\frac{2 C_1}{R_o^2 \Gamma}} \quad (6.14)$$

Sendo este um limite superior para a frequência ω_{mn} .

Na Figura 6.4 são mostrados os espectros de frequência de vibração para valores selecionados de n e variando-se o número de semi-ondas radiais, m . Estes espectros são calculados analiticamente, para a membrana anular com $\rho_o = 0.2 m$ e diferentes níveis de tração. Observa-se que, para cada valor de n , a variação das frequências de vibração em relação ao número de semi-ondas radiais é linear e que a menor frequência de vibração ocorre para uma combinação de ondas $m = 1$ e $n = 0$ (modo axissimétrico).

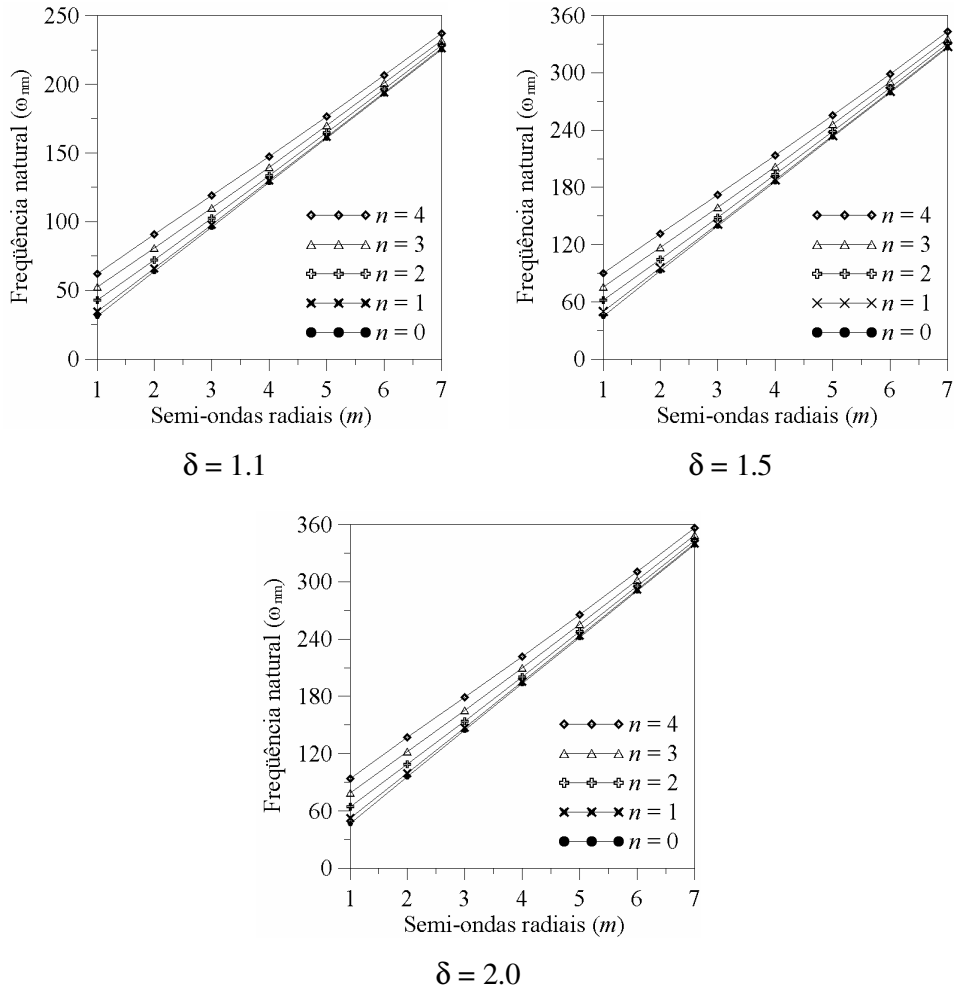


Figura 6.4 - Espectro das frequências naturais (rad/s) da membrana anular. Frequência natural em função de m ($\rho_o = 0.20 m$).

Na Figura 6.5 ilustra-se, novamente, os espectros da frequência de vibração, porém variando o número de ondas circunferenciais, n . Observa-se que a variação das frequências em relação ao número de ondas circunferenciais é levemente não linear.

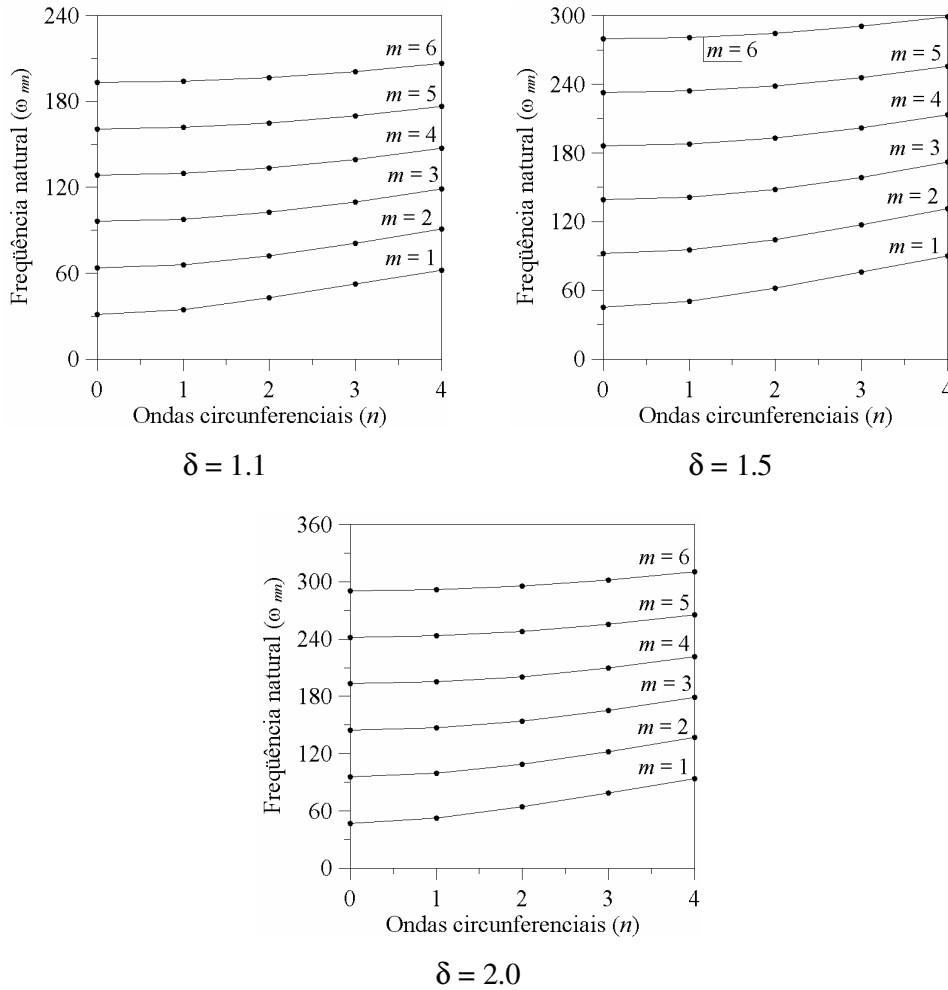


Figura 6.5 - Espectro das frequências naturais (rad/s) da membrana anular. Frequência natural em função de n ($\rho_o = 0.20 m$).

Para a solução via método dos elementos finitos, utiliza-se a mesma malha utilizada na análise estática. Os resultados analíticos (AN) e obtidos por elementos finitos (MEF) são comparados na Tabela 6.1.

Na Figura 6.6 apresenta-se uma variação da frequência de vibração com o coeficiente de tração radial (δ) da membrana para três modos de vibração. Observa-se que, para pequenos valores de δ ocorre um grande aumento na frequência natural e que, a curva tende a um valor constante para maiores valores da razão de tração radial. Esse comportamento é observado para todos modos de vibração com diferentes combinações de ondas (m e n).

Tabela 6.1 – Frequências de vibração lineares (rad/s) da membrana anular.

$\rho_o = 0.20 \text{ m}$							
m	n	$\delta = 1.1$		$\delta = 1.5$		$\delta = 2.0$	
		AN	MEF	AN	MEF	AN	MEF
1	0	32.307	32.512	45.561	45.716	47.113	47.431
1	1	34.751	35.725	50.293	50.788	52.244	52.513
1	2	42.840	43.491	62.000	62.349	64.406	64.615

$\rho_o = 0.30 \text{ m}$							
m	n	$\delta = 1.1$		$\delta = 1.5$		$\delta = 2.0$	
		AN	MEF	AN	MEF	AN	MEF
1	0	38.200	38.827	53.390	53.465	54.423	54.926
1	1	40.607	40.984	55.873	56.795	58.042	58.440
1	2	46.879	46.796	64.950	65.629	67.471	67.725

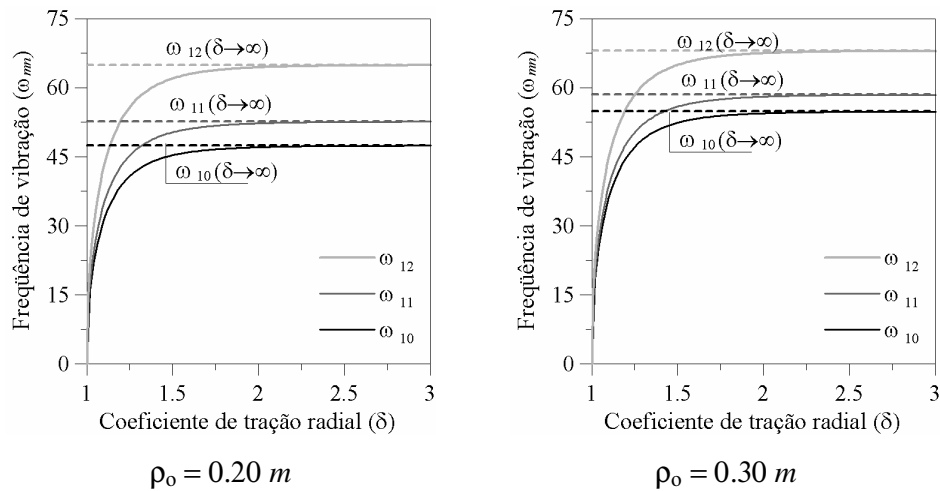


Figura 6.6 – Variação da frequência de vibração (rad/s) em função do coeficiente de tração radial da membrana anular.

Já na Figura 6.7 apresenta-se a relação entre a frequência de vibração e δ para o primeiro modo de vibração ($m = 1$ e $n = 0$), considerando diferentes valores do raio interno, ρ_o . Verifica-se que quanto maior o raio interno, maior o valor da frequência e que o mesmo tipo de comportamento é observado quando se varia δ independente do valor do raio interno, ρ_o .

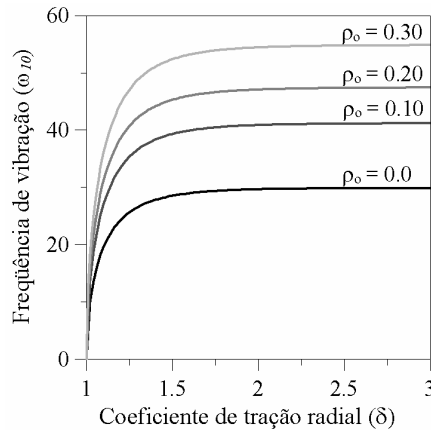


Figura 6.7 – Variação da frequência de vibração (rad/s) em função do coeficiente de tração radial para diferentes valores do raio interno da membrana anular.

A relação entre a frequência de vibração e o raio interno indeformado (R_o) é apresentada na Figura 6.8. Verifica-se que, para valores pequenos do raio indeformado, ocorre uma rápida diminuição da frequência de vibração e que a curva tende a valores constantes à medida que R_o cresce. Esse comportamento é observado para diferentes valores do raio interno.

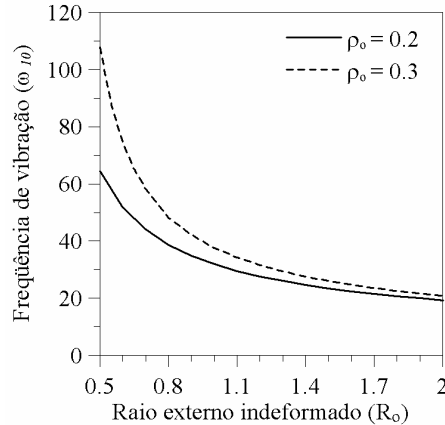


Figura 6.8 - Variação de frequência de vibração (rad/s) em função do raio indeformado, R_o (m).

Três dos modos de vibração da membrana anular são apresentados na Figura 6.9. Independente do tamanho do raio interno ρ_o a configuração do modo (m, n) de vibração é a mesma.

Ressalta-se que as frequências lineares de vibração independem da espessura da membrana anular indeformada (h).

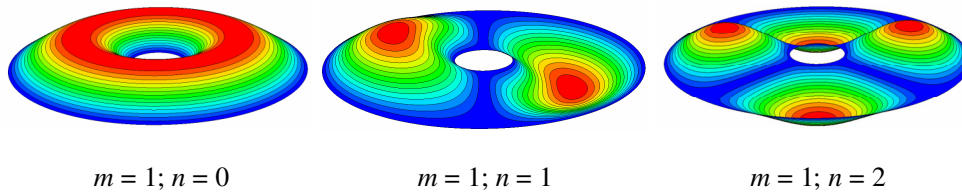


Figura 6.9 – Modos de vibração da membrana anular ($\rho_o = 0.20 m$).

6.1.3. Análise não linear da vibração livre

A resposta não-linear da vibração livre da membrana sob grandes e pequenas amplitudes de vibração é obtida utilizando o método dos elementos finitos. Na Figura 6.10 apresenta-se os deslocamentos da membrana pré-tensionada sob vibração livre, onde se observa que os deslocamentos radial u e circunferencial v são desprezíveis em relação ao deslocamento transversal w , tal como nos casos anteriores.

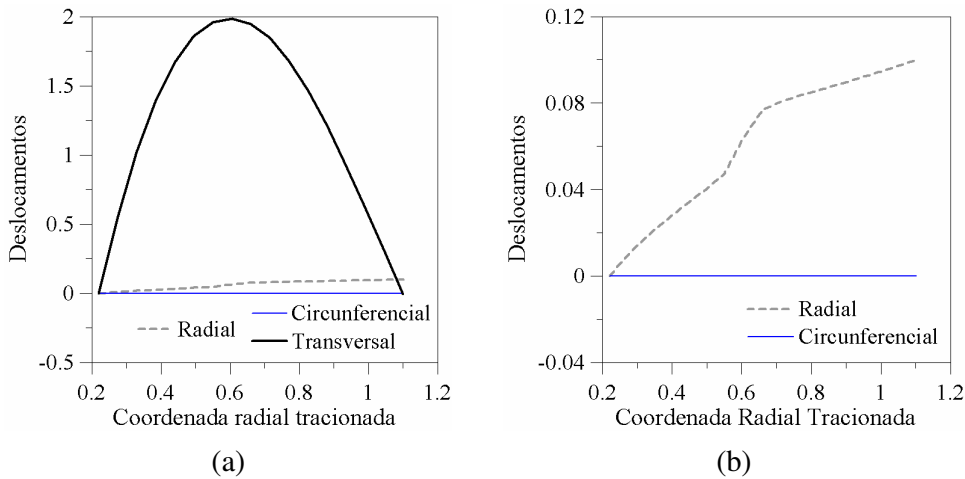


Figura 6.10 – (a) Variação dos deslocamentos (m) da membrana circular pré-tensionada sob grande amplitude de vibração ao longo do raio tracionado. (b) Detalhe dos deslocamentos radial e circunferencial ($\delta = 1.1, \rho_o = 0.2 m$).

Para a análise não linear da membrana anular, parte-se da equação de movimento não linear na direção transversal da membrana dada em (3.45) e obtém-se para a vibração livre da membrana anular a seguinte equação:

$$-\frac{\partial}{\partial \rho} \left(\rho \frac{\partial W}{\partial z, \rho} \right) - \frac{\partial}{\partial \theta} \left(\rho \frac{\partial W}{\partial z, \theta} \right) + \rho \Gamma \frac{\partial^2 w}{\partial t^2} = 0 \quad (6.15)$$

Assim, para análise não linear o deslocamento transversal w é aproximado por um somatório de M modos ortogonais, dado por:

$$w(\rho, \theta, t) = \sum_{m=1}^M \sum_{n=0}^N A_{mn}(t) \left[C J_n \left(\frac{\Lambda_{mn} \rho}{R_o} \right) - Y_n \left(\frac{\Lambda_{mn} \rho}{R_o} \right) \right] \cos(n\theta) \quad (6.16)$$

onde $A_{mn}(t)$ corresponde à amplitude do deslocamento em função do tempo e C e Λ_{mn} são dados em (6.12).

O método de Galerkin-Urabe é utilizado para resolver as equações de movimento obtendo-se a relação frequência-amplitude modal. Estuda-se a vibração associada à menor frequência natural ($m = 1$ e $n = 0$) que corresponde ao primeiro modo axissimétrico. Para isso, o deslocamento transversal (6.16) é aproximado com $N = 0$ e aumentando o número de modos radiais ($M = 1, 2$ e 3).

A variação de cada amplitude modal A_{10} em (6.16) é apresentada Figura 6.11 considerando-se um número crescente de modos M para três diferentes valores de δ para a membrana com raio interno $\rho_o = 0.20 m$.

Os resultados mostram que um modelo reduzido com apenas um grau de liberdade (expansão 1, com $M = 1$) é suficiente para se obter respostas corretas sob grandes deslocamentos. As amplitudes dos modos subsequentes (A_{20} e A_{30}) são muito pequenas quando comparadas com A_{10} .

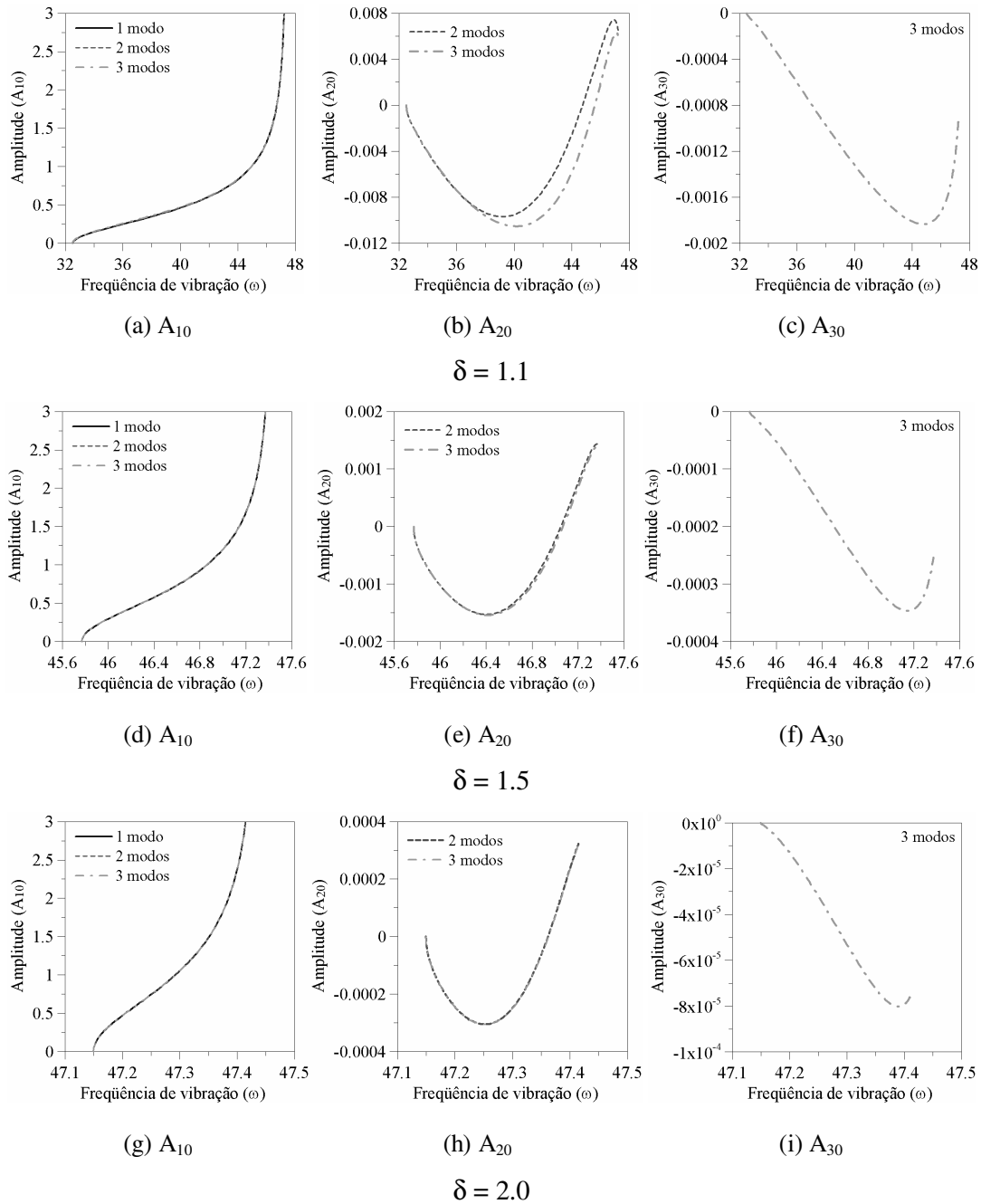


Figura 6.11 – Variação da frequência de vibração (rad/s) com a amplitude modal (m), considerando-se um número crescente de modos em (6.16) ($\rho_0 = 0.20 m$).

Na Figura 6.12 ilustra-se a relação frequência de vibração-amplitude modal para diferentes valores da razão de tração radial, δ . Observa-se o mesmo comportamento que ocorre para as membranas circulares.

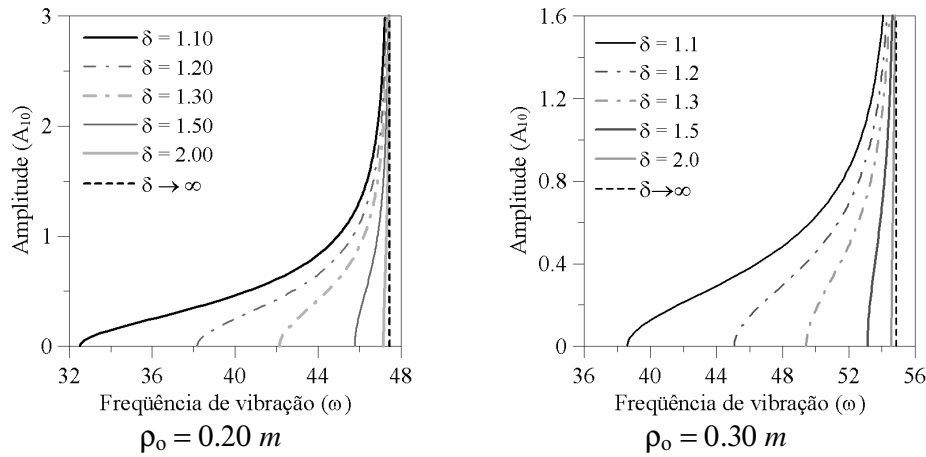


Figura 6.12 - Relação frequência (rad/s) - amplitude (m) para vibração livre da membrana anular com diferentes valores de δ .

Já na Figura 6.13 ilustra-se a relação frequência de vibração-amplitude modal para diferentes valores do raio interno da membrana. Observa-se que, quanto maior o raio interno maiores são as frequências de vibração para uma dada amplitude (A_{10}) e que o comportamento *hardening* é observado em todos os casos apresentados.

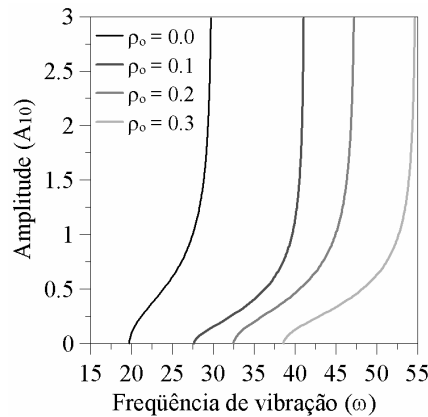


Figura 6.13 - Relação frequência (rad/s) – amplitude (m) para vibração livre da membrana anular com diferentes valores de ρ_0 .

No estudo da vibração não-linear pelo método dos elementos finitos, é utilizado um modelo com uma malha com 576 elementos de casca S4R que gera um sistema com 1731 equações. Da mesma maneira que para a membrana circular, o modelo utilizado na análise não linear possui uma discretização menos refinada que na análise linear devido à dificuldade e ao tempo de processamento deste tipo de análise.

Para o cálculo da vibração livre por elementos finitos, excitou-se o primeiro modo de vibração da membrana anular ($n = 0$ e $m = 1$) impondo-se um campo de deslocamentos inicial igual à solução analítica e obteve-se, para uma dada amplitude inicial, a resposta no tempo para um sistema levemente amortecido.

A partir desta resposta no tempo e utilizando a metodologia proposta por Nandakumar e Chatterjee (2005), obtém-se a relação frequência de vibração-deslocamento transversal para um ponto qualquer da membrana.

Assim, os resultados obtidos por elementos finitos são comparados com os resultados obtidos analiticamente utilizando-se os modelos de pequena dimensão para um ponto de coordenadas (0.5; 0) da membrana indeformada. Esses resultados são apresentados na Figura 6.14, onde se observa uma boa concordância.

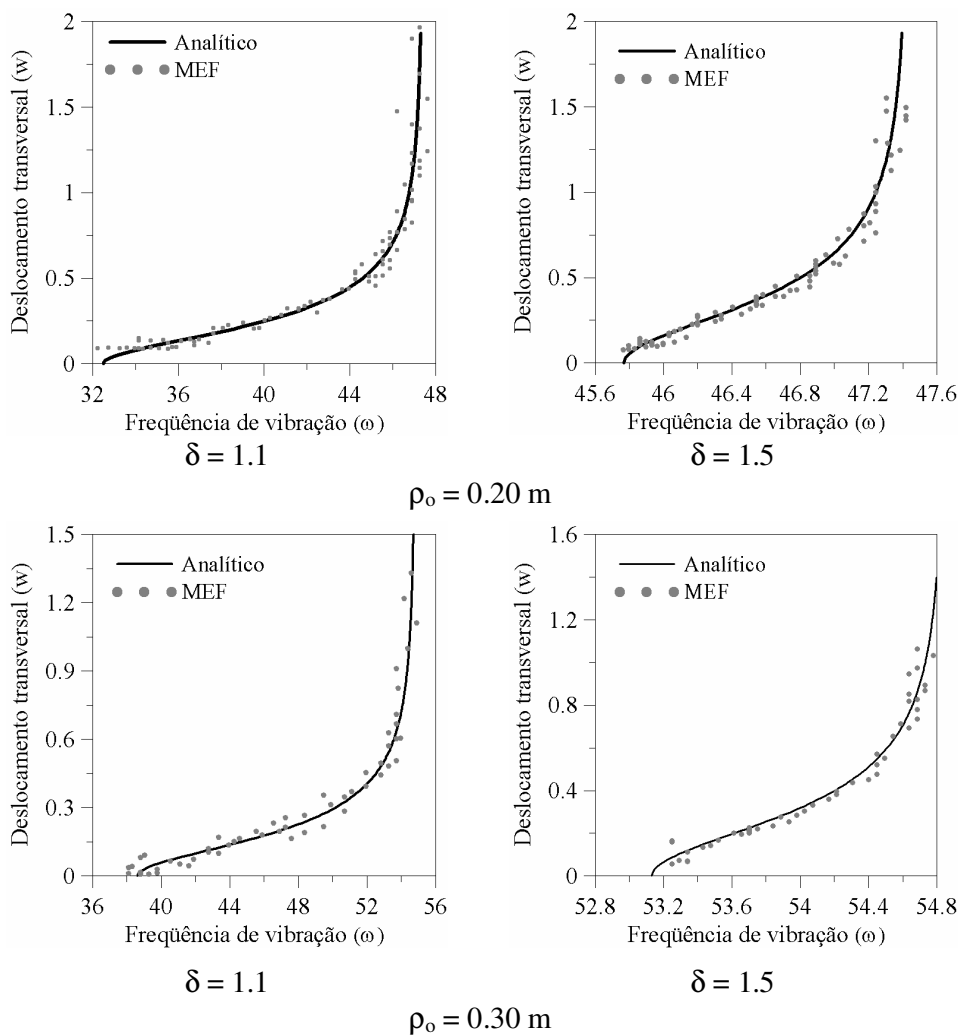


Figura 6.14 - Relação frequência de vibração (rad/s) - deslocamento transversal (m).

Cabe ressaltar que a modelagem por elementos finitos considera os deslocamentos no plano da membrana u e v e seus efeitos inerciais, o que não é considerado no módulo reduzido.

Na Figura 6.15 apresenta-se o deslocamento transversal da membrana anular em vibração livre em um tempo t obtido através de elementos finitos. Compara-se esse resultado com o obtido pela equação (6.16) utilizando apenas o primeiro modo axissimétrico e a mesma amplitude da resposta numérica. Observa-se que a equação (6.16) é uma resposta com boa precisão para a vibração livre da membrana anular.

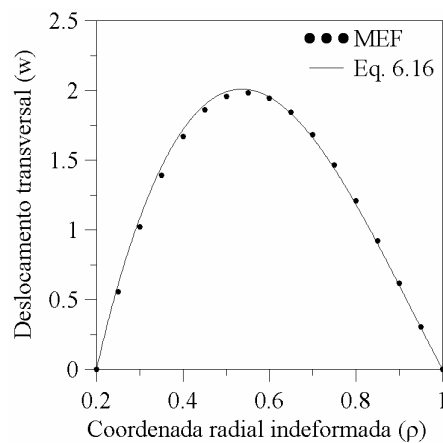


Figura 6.15 - Deslocamento transversal (w) da membrana anular em vibração livre, em um tempo t ($\delta = 1.1$; $\rho_0 = 0.20$ m).

A variação da frequência no intervalo de interesse pode ser melhor comparada através dos resultados apresentados na Figura 6.16, onde mostra-se a relação normalizada frequência-deslocamento da membrana. A frequência de vibração foi normalizada com relação à frequência natural de cada caso e os resultados apresentados são os obtidos utilizando a formulação analítica.

Observa-se através da Figura 6.16 que, quanto mais tracionada a membrana menor o grau de não-linearidade da resposta, impondo uma necessidade de maior precisão nos períodos de tempo utilizados no método dos elementos finitos e, conseqüentemente, nas frequências.

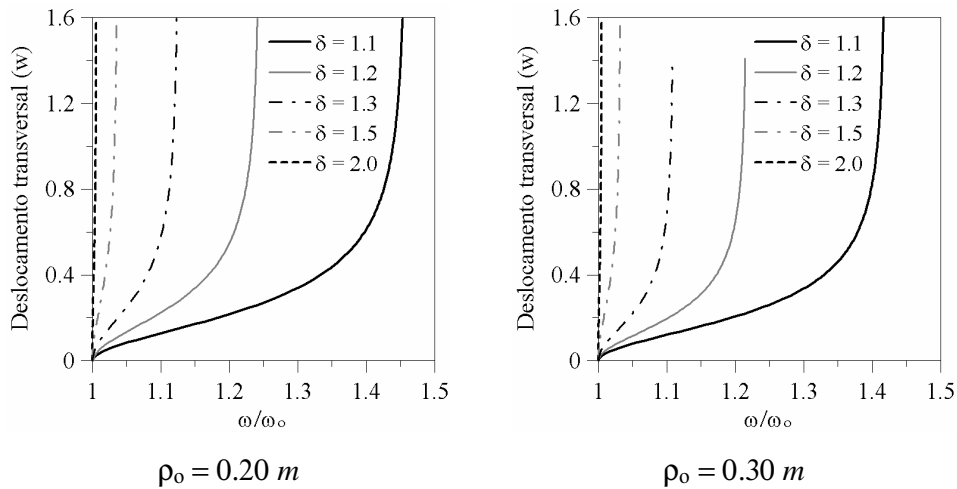


Figura 6.16 - Relação normalizada frequência – deslocamento transversal (m) da membrana anular.

Na Figura 6.17 apresenta-se a relação frequência-deslocamento transversal normalizada variando-se o raio interno ρ_0 . Observa-se o mesmo comportamento *hardening* em todos os casos e que as curvas das membranas com raio interno diferente de zero se sobrepõem inicialmente, mas tendem a diferentes valores de ω/ω_0 à medida que o deslocamento transversal cresce. Nota-se também que a membrana anular apresenta inicialmente uma variação mais acentuada da frequência com a amplitude quando comparada à membrana sem orifício ($\rho_0 = 0.0$), o que implica em um maior grau de não-linearidade.

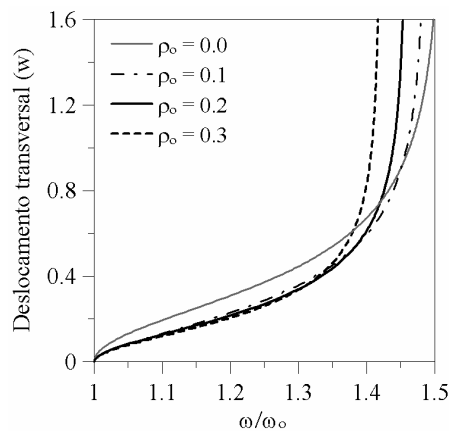


Figura 6.17 - Relação normalizada frequência-deslocamento transversal (m) da membrana anular com diferentes valores do raio interno. ($\delta = 1.1$)

6.1.4.

Redução do problema pelo método de Karhunen-Loève

A redução do problema da membrana anular pelo método de Karhunen-Loève é feita para identificar a importância de cada modo da expansão do deslocamento transversal (6.16) na energia total do sistema. Com isso, pode-se verificar a participação de cada modo da expansão modal nos modos não lineares de vibração.

Para isso observam-se as relações frequência-deslocamento transversal associadas ao primeiro modo axissimétrico ($n = 0$ e $m = 1$), obtidas analiticamente (expansões 1, 2 e 3) e por elementos finitos, e escolhem-se em virtude da grande não-linearidade da resposta três trechos distintos da curva para determinar a série de dados. Assim, para uma melhor representação do comportamento da membrana, calculam-se expansões que representem o deslocamento transversal para as membranas utilizando o método de Karhunen-Loève considerando pequenas, médias e grandes amplitudes de vibração.

Na Figura 6.18 são mostrados os três trechos escolhidos na curva frequência-deslocamento transversal para a determinação da série de dados necessária à decomposição de Karhunen-Loève. Neste estudo utilizam-se as respostas das membranas com $\rho_0 = 0.20 m$ inicialmente tracionadas com $\delta = 1.1$.

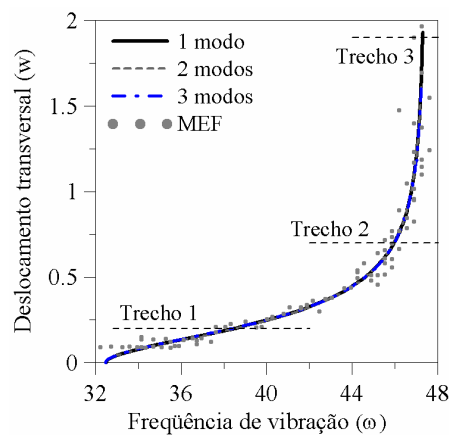


Figura 6.18 – Trechos da curva frequência (rad/s) – deslocamento transversal (m) da membrana em vibração livre para decomposição de Karhunen-Loève ($\delta = 1.1$; $\rho_0 = 0.20 m$).

Os quatro primeiros POMs e seus respectivos POVs, para o problema de vibração livre para a membrana anular são apresentados na Figura 6.19 para cada um dos três trechos.

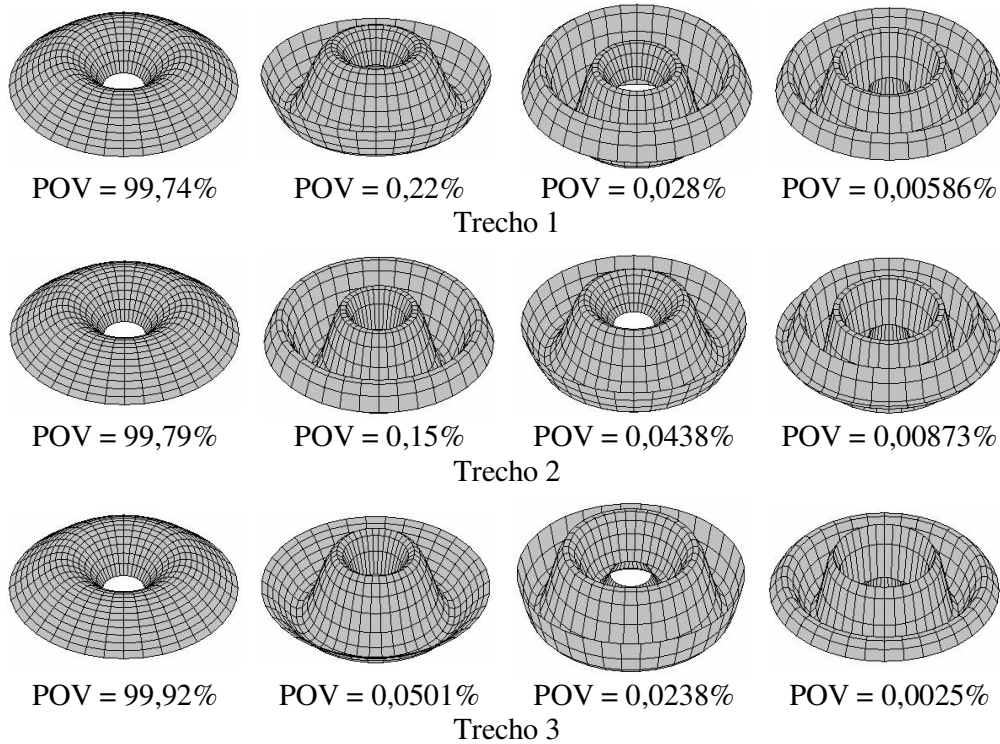


Figura 6.19 - Quatro primeiros POMs e seus respectivos POVs para a vibração livre não linear da membrana anular ($\delta = 1.1$; $\rho_0 = 0.2 m$).

Os quatro primeiros POMs em cada trecho representam mais de 99,99% da energia total do sistema. De fato, a maior parte da energia está concentrada no primeiro modo (POV > 99,74%). A partir destes resultados, pode-se derivar um modelo reduzido para a análise não linear da membrana e identificar a importância relativa de cada modo da expansão (6.16).

A Tabela 6.2 apresenta os coeficientes modais para cada POM ilustrado na Figura 6.19. A principal contribuição para o primeiro POM, que é responsável por mais de 99,74 % da energia total, é basicamente o primeiro modo axissimétrico A_{10} .

Tabela 6.2 - Participação dos modos usados na expansão modal dos quatro primeiros POMs na resposta não linear da membrana anular ($\delta = 1.1$; $\rho_0 = 0.2 m$).

Trecho 1					
POM	POV	A_{10}	A_{20}	A_{30}	A_{40}
1	99,74%	0.64981	-0.01377	-0.00109	0.00035
2	0,22%	0.15164	-0.72898	0.01031	-0.00142
3	0,028%	0.01361	0.07770	-0.06809	-0.01096
4	0,00586%	-0.01721	-0.01608	0.000243	-0.04719
Trecho 2					
POM	POV	A_{10}	A_{20}	A_{30}	A_{40}
1	99,79%	0.64675	-0.00173	-0.00068	0.00030
2	0,15%	0.04419	-0.01097	-0.06544	-0.00303
3	0,0438%	0.15663	-0.73041	0.01746	-0.00548
4	0,00873	-0.02342	0.04683	-0.01274	-0.02653
Trecho 3					
POM	POV	A_{10}	A_{20}	A_{30}	A_{40}
1	99,92%	0.64590	-0.00035	-0.00009	0.00006
2	0,0501%	0.15728	-0.58375	-0.02547	-0.00225
3	0,0238%	0.05963	-0.44520	0.06397	0.00498
4	0,0025%	-0.01560	-0.02212	-0.01184	-0.03930

Na Figura 6.20 é apresentada a deformada da membrana dada pelo primeiro POM ilustrados na Figura 6.19. Observa-se que há uma boa concordância entre a deformada obtida usando a expansão modal (6.16) com um modo ($M = 1$) e usando o primeiro POM da expansão de Karhunen-Loève. Portanto, verifica-se matematicamente que um modelo simples com um grau de liberdade é capaz de descrever o comportamento não-linear da membrana incluindo grandes deformações.

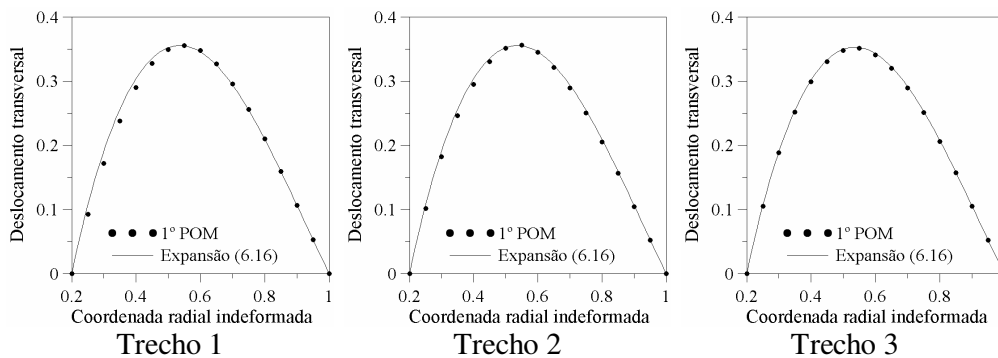


Figura 6.20 – Comparação da deformada obtida a partir da expansão (6.16) com o primeiro POM da expansão de Karhunen-Loève ($\delta = 1.1$; $\rho_0 = 0.2 m$).

6.1.5. Análise não linear da vibração forçada

Da mesma maneira que para a membrana circular, na análise da vibração forçada da membrana anular considera-se a vibração transversal axissimétrica provocada por uma pressão hidrostática uniforme dependente do tempo $P(t)$ e que os campos de deslocamentos radial u e circunferencial v são desprezíveis em relação ao campo de deslocamento transversal w .

Dessa maneira, a equação de movimento não linear da membrana anular sob vibração forçada transversal é dada por:

$$-\frac{\partial}{\partial \rho} \left(\rho \frac{\partial W}{\partial z, \rho} \right) - \frac{\partial}{\partial \theta} \left(\rho \frac{\partial W}{\partial z, \theta} \right) + \rho \Gamma \frac{\partial^2 w}{\partial t^2} - \zeta C_c \frac{\partial w}{\partial t} - P(t) r_o \frac{dr_o}{d\rho} = 0 \quad (6.17)$$

onde a pressão excitadora $P(t)$ é a mesma apresentada em (4.28) para a membrana circular.

Como a vibração axissimétrica transversal é associada ao primeiro modo axissimétrico ($n=0$ e $m=1$), aproxima-se o deslocamento transversal pela expansão (6.16) com $N=0$ e aumentando o número de modos radiais ($M=1, 2$ e 3).

Para obtenção dos resultados numéricos, considera-se a força com amplitude excitação $P_o = 1 \text{ N/m}^2$. A variação das amplitudes modais A_{i0} com a frequência de vibração é apresentada na Figura 6.21.

Novamente, os resultados mostram que as amplitudes dos modos A_{20} e A_{30} são muito pequenas quando comparadas com A_{10} . A partir destas respostas e da obtida pelo método de Karhunen-Loevè verifica-se que um modelo reduzido com apenas um grau de liberdade (expansão 1, com $M=1$) é suficiente para se obter respostas corretas sob grandes deslocamentos. Os demais resultados são calculados utilizando essa expansão com um modo axissimétrico.

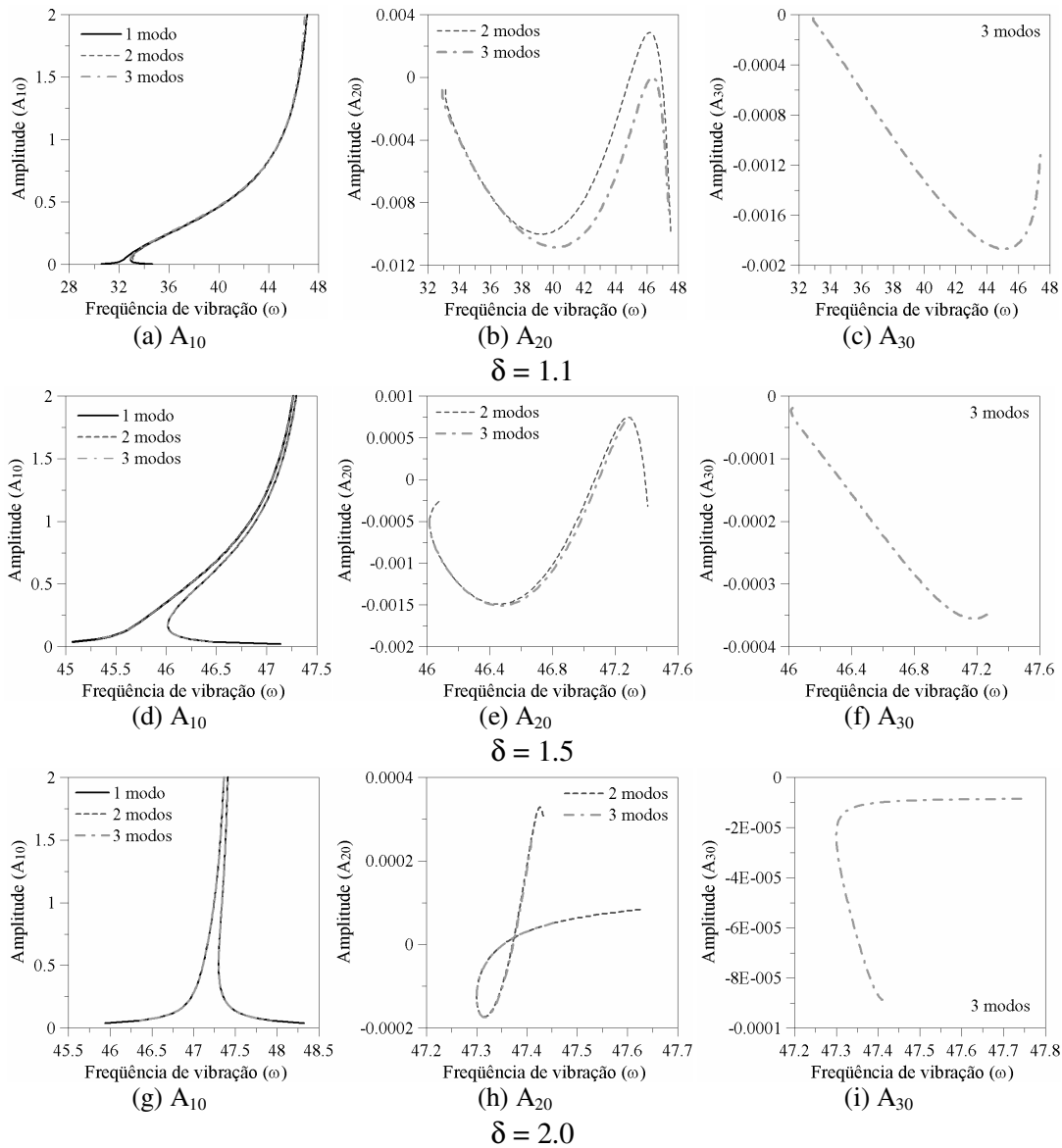


Figura 6.21 – Curva de ressonância não linear da membrana anular ($\rho_0 = 0.20 m$).

Na Figura 6.22 apresenta-se a curva de ressonância (frequência-deslocamento transversal) para um ponto de coordenadas (0.5; 0) da membrana indeformada com diferentes valores de δ e $\rho_0 = 0.20 m$. Observa-se que as curvas tendem a um mesmo valor constante para grandes amplitudes de vibração

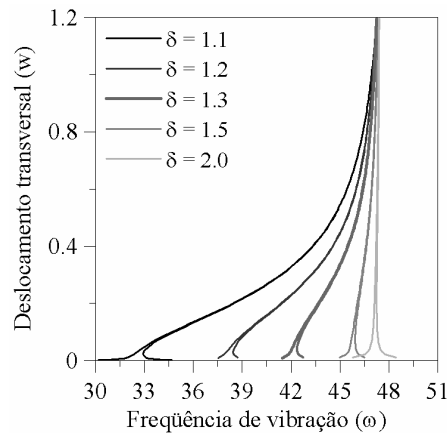


Figura 6.22 – Relação frequência (rad/s) - deslocamento transversal (m) para a vibração forçada da membrana anular com diferentes δ ($\rho_o = 0.20 m$).

Na Figura 6.23 apresenta-se a curva de ressonância (frequência-deslocamento transversal) para um ponto de coordenadas (0.5; 0) da membrana indeformada com diferentes valores do raio interno. Observa-se que as curvas apresentam o mesmo tipo de comportamento *hardening*, sendo que o grau de não-linearidade cresce com ρ_o no intervalo analisado.

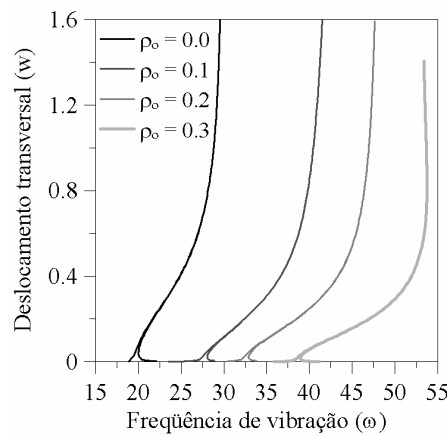


Figura 6.23 – Relação frequência (rad/s) - deslocamento transversal (m) para a vibração forçada da membrana anular com diferentes δ .

O método de continuação é utilizado para o cálculo dos diagramas de bifurcação do mapa de Poincaré da membrana anular tracionada com $\rho_o = 0.20 m$ que são apresentadas na Figura 6.24, para três diferentes valores de tração radial e amplitude da excitação $P_o = 1 N/m^2$. As linhas contínuas representam posições de

equilíbrio estáveis e as linhas tracejadas representam posições de equilíbrio instáveis.

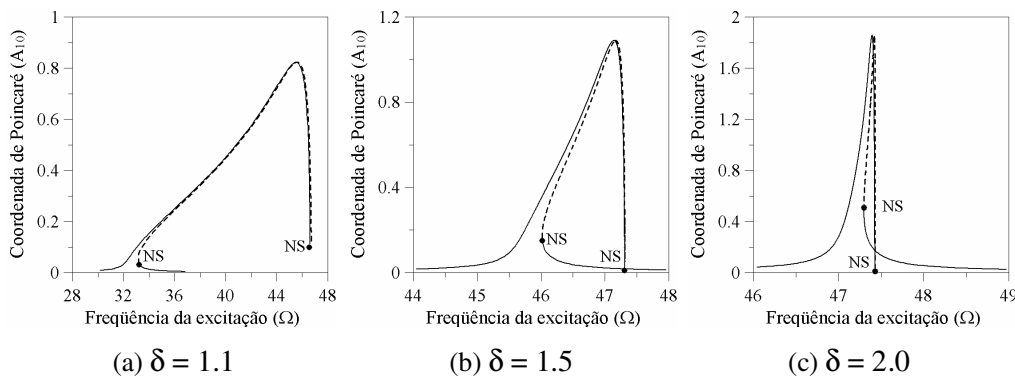


Figura 6.24 – Diagramas de bifurcação. Coordenada de Poincaré A_{10} (m) como função da frequência de excitação Ω (rad/s) ($P_o = 1 \text{ N/m}^2$; $\zeta = 0.05$; $\rho_o = 0.20 \text{ m}$).

Observa-se na Figura 4.28 duas bifurcações nó-sela em cada caso e que com o aumento da tração radial, a não-linearidade da resposta diminui, diminuindo a região da frequência onde as soluções instáveis existem e portanto a possibilidade de variações bruscas das amplitudes de vibração

Na Figura 6.25 apresenta-se os diagramas de bifurcação para valores crescentes de P_o para a membrana anular com $\rho_o = 0.20 \text{ m}$ e $\delta = 1.1$. Observa-se que todos os casos apresentam o mesmo tipo de comportamento *hardening* independente da magnitude da carga.

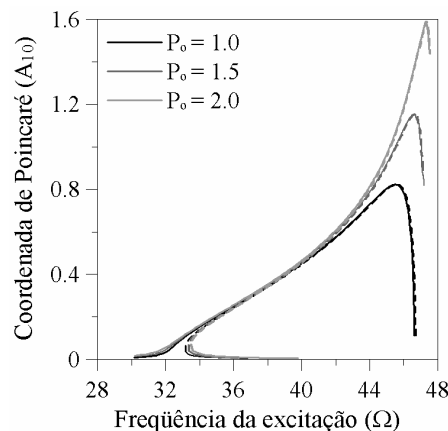
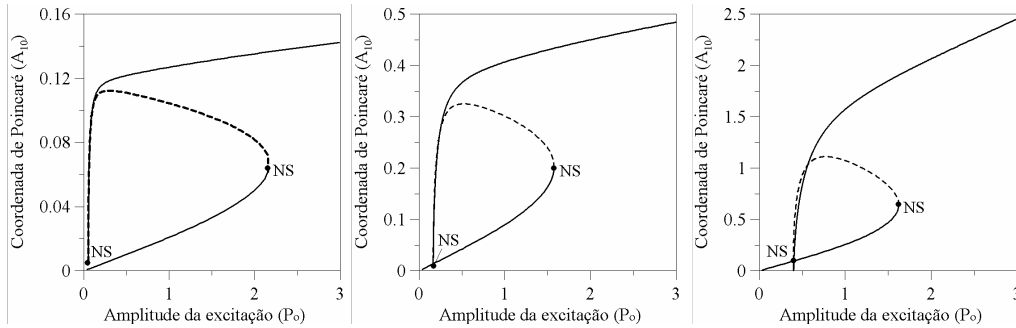


Figura 6.25 – Curvas de ressonância. Amplitude de vibração A_{10} (m) como função da frequência de excitação Ω (rad/s) ($\zeta = 0.05$; $\delta = 1.1$; $\rho_o = 0.20 \text{ m}$).

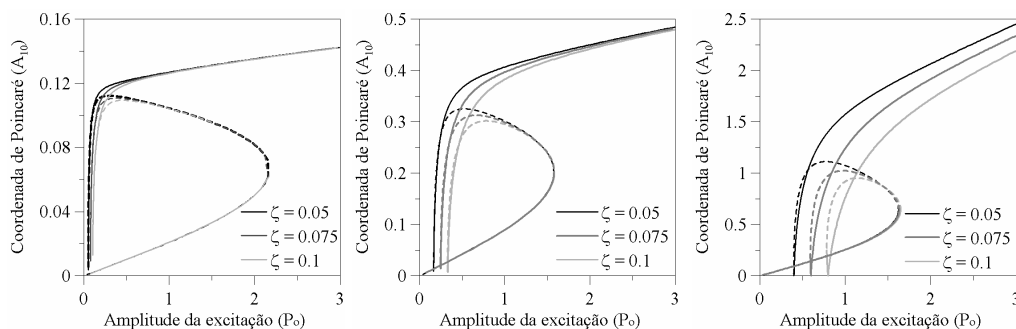
Na Figura 6.26 apresenta-se o diagrama de bifurcação em função da magnitude da força P_o , para valores selecionados da freqüência de excitação na região principal de ressonância, estando esta sempre à direita da freqüência natural da membrana pré-tensionada. Como no caso da membrana circular, observa-se a influência decrescente da não-linearidade com o aumento de relação δ para a membrana anular.



(a) $\delta = 1.1; \Omega = 33.50 \text{ rad/s}$ (b) $\delta = 1.5; \Omega = 46.10 \text{ rad/s}$ (c) $\delta = 2.0; \Omega = 47.35 \text{ rad/s}$

Figura 6.26 – Diagramas de bifurcação para valores selecionados da freqüência de excitação. Coordenada de Poincaré $A_{10} (m)$ como função da amplitude da excitação $P_o (N/m^2)$, ($\zeta = 0.05$; $\rho_o = 0.20 m$)

Diagramas de bifurcação que tem como parâmetro de controle a magnitude da força, P_o , para diferentes valores de amortecimento são apresentados na Figura 6.27. Verifica-se que a influência do amortecimento aumenta com o aumento da tração radial e que o amortecimento diminui a região onde a multiplicidade das soluções e os saltos entre as soluções estáveis co-existentis podem ocorrer.



(a) $\delta = 1.1; \Omega = 33.50 \text{ rad/s}$ (b) $\delta = 1.5; \Omega = 46.10 \text{ rad/s}$ (c) $\delta = 2.0; \Omega = 47.35 \text{ rad/s}$

Figura 6.27 – Diagramas de bifurcação com diferentes valores de amortecimento. Coordenada de Poincaré $A_{10} (m)$ como função da amplitude da excitação $P_o (N/m^2)$. ($\rho_o = 0.20 m$).

Na Figura 6.28 apresentam-se diagramas de bifurcação em função da amplitude da excitação para diferentes valores da frequência da excitação, para a membrana com $\delta = 1.1$ e $\rho_o = 0.20 m$.

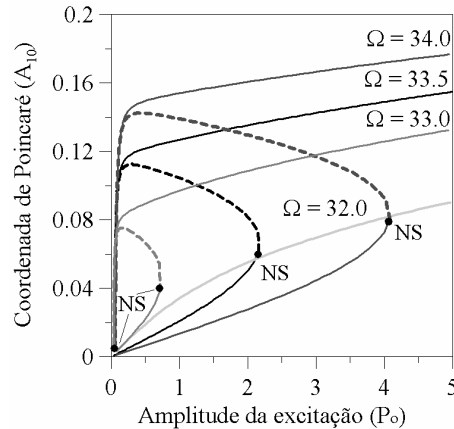


Figura 6.28 - Diagramas de bifurcação com diferentes valores da frequência de excitação Ω . Coordenada de Poincaré A_{10} (m) em função da amplitude da excitação P_o (N/m^2) ($\delta = 1.1$; $\zeta = 0.05$; $\rho_o = 0.20 m$)

Dependendo do valor de P_o e Ω , a membrana pode exibir uma ou três respostas. Para valores de Ω próximos à menor frequência natural, há duas soluções estáveis e uma instável para uma grande faixa de P_o . Os ramos estáveis e instáveis estão conectados por bifurcações do tipo nó-sela. Para valores da frequência de excitação distantes da região de ressonância só é observada uma resposta (estável).

Por fim, ilustra-se na Figura 6.29 as bacias de atração para três conjuntos de parâmetros escolhidos de tal modo que a resposta permaneça na região principal de ressonância. A Figura 6.29 corresponde à bacia de atração no plano fase $A_{10} \times \dot{A}_{10}$ e as cores diferentes correspondem aos atratores distintos: a cor cinza escuro corresponde à bacia de atração da oscilação de grande amplitude e a cor cinza claro corresponde à oscilação de pequena amplitude. Os atratores são realçados por uma cruz preta nas bacias de atração.

Observa-se neste caso o mesmo comportamento notado para a membrana circular, ou seja, com o aumento da tração radial a complexidade da topologia da bacia diminui com um número menor de faixas claras e escuras e que, na região

principal de ressonância a maioria das condições iniciais conduz a soluções que convergem ao atrator de grande amplitude.

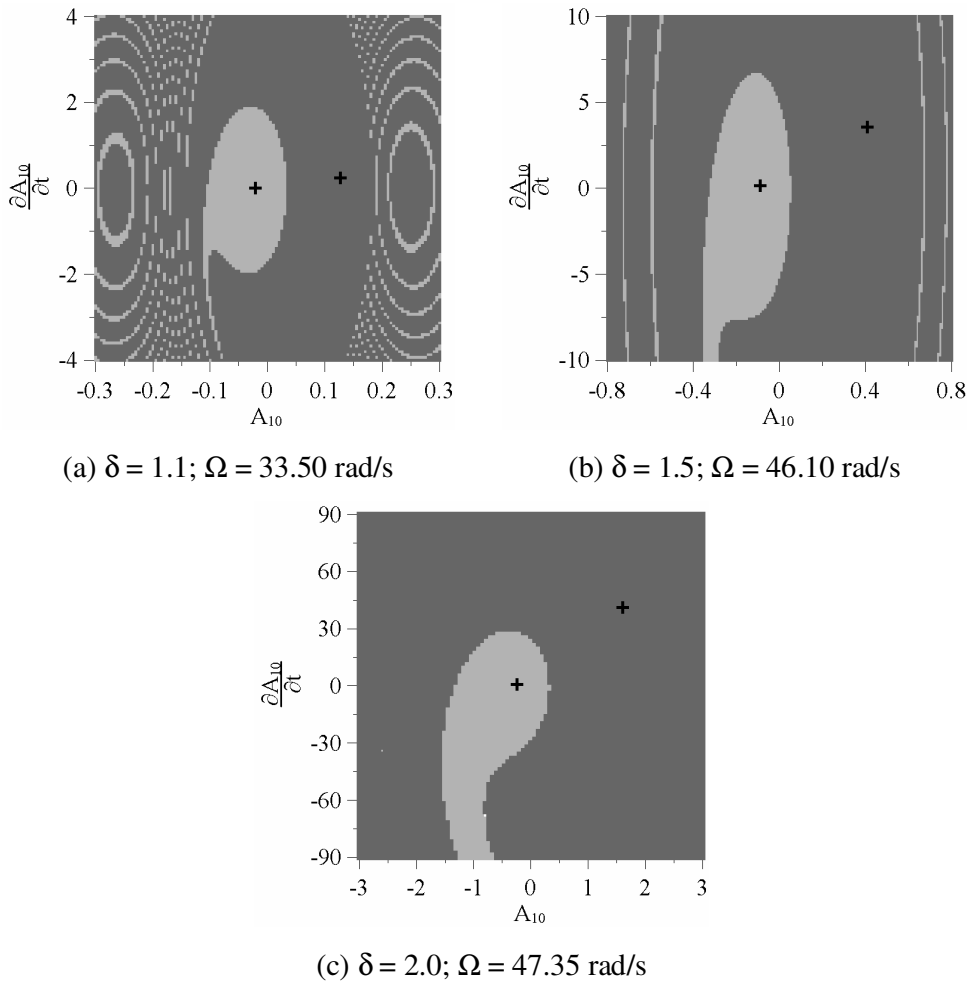


Figura 6.29 – Bacia de atração no plano fase das condições iniciais $A_{10} \times \dot{A}_{10}$ ($P_o = 1 \text{ N/m}^2; \zeta = 0.05; \rho_o = 0.20 \text{ m}$).

6.2.

Variação da massa específica na direção radial da membrana anular

Neste ítem estuda-se a membrana anular com variação da massa específica na direção radial e comparam-se os resultados com os encontrados na literatura. Para isso, considera-se que a massa específica da membrana varia na direção radial da mesma forma que no capítulo 5, ou seja:

$$\Gamma(\rho) = \Gamma_o (1 + \kappa \rho^2) \tag{6.18}$$

onde Γ_o é um valor constante e κ é um valor constante conhecido que descreve a variação da massa específica ao longo do raio indeformado.

A resposta estática neste caso é a igual à apresentada no item 4.1, sendo $r_o(\rho)$ dado pela equação (4.1).

6.2.1. Análise linear da vibração livre

A equação de movimento linear para a membrana anular com variação da massa específica é dada por:

$$\begin{aligned}
 & 2C_1 \left[\left(-1 + \frac{\rho^2}{r_o'^4 r_o^2} \right) \frac{\partial^2 w(\rho, \theta, t)}{\partial \rho^2} + \left(-\frac{1}{\rho^2} + \frac{\rho^2}{r_o'^2 r_o^4} \right) \frac{\partial^2 w(\rho, \theta, t)}{\partial \theta^2} + \right. \\
 & \left. + \left(-\frac{1}{\rho} - \frac{4\rho^2 r_o''}{r_o'^5 r_o^2} + \frac{3\rho}{r_o'^4 r_o^2} - \frac{2\rho^2}{r_o'^3 r_o^3} \right) \frac{\partial w(\rho, \theta, t)}{\partial \rho} \right] + \\
 & + \Gamma_o (1 + \kappa \rho^2) \left(\frac{\partial^2 w(\rho, \theta, t)}{\partial t^2} \right) = 0
 \end{aligned} \tag{6.19}$$

Como apresentado para vibração livre da membrana circular no capítulo 5, a equação de movimento linear (5.2) pode ser resolvida pelo método de separação das variáveis ρ , θ e t na equação (5.2) como apresentado em (5.3).

Substituindo (5.3) em (6.19), obtém-se a seguinte equação diferencial linear, em função da coordenada radial com coeficientes variáveis, semelhante à equação diferencial Whittaker (Abramowitz e Stegun, 1972):

$$\begin{aligned}
 & \left(-1 + \frac{\rho^2}{r_o'^4 r_o^2} \right) \frac{d^2 G(\rho)}{d\rho^2} + \left(-\frac{1}{\rho} - \frac{4\rho^2 r_o''}{r_o'^5 r_o^2} + \frac{3\rho}{r_o'^4 r_o^2} - \frac{2\rho^2}{r_o'^3 r_o^3} \right) \frac{dG(\rho)}{d\rho} \\
 & + \left(\frac{\Gamma_o (1 + \kappa \rho^2) \omega_{mn}^2}{2C_1} - \frac{n^2 \rho^2}{r_o'^2 r_o^4} + \frac{n^2}{\rho^2} \right) G(\rho) = 0
 \end{aligned} \tag{6.20}$$

Utilizando a solução da equação diferencial de Whittaker (Abramowitz e Stegun, 1972) juntamente com as condições de contorno do problema, obtém-se a seguinte aproximação para o deslocamento transversal da membrana anular com variação da massa específica ao longo da direção radial:

$$w(\rho, \theta, t) = A_{mn} \left[M_n \left(\frac{-I}{4} \sqrt{\frac{K}{\kappa}}; \frac{n}{2}; \sqrt{K\kappa} \rho^2 I \right) - C W_n \left(\frac{-I}{4} \sqrt{\frac{K}{\kappa}}; \frac{n}{2}; \sqrt{K\kappa} \rho^2 I \right) \right]^* \frac{1}{\rho} \cos(n\theta) \cos(\omega_{mn} t) \quad (6.21)$$

sendo:

$$K = \frac{\Gamma_o k_{mn} (r'_o(R_o))^3 R_f^3}{2 C_1 R_o (R_f^2 (r'_o(R_o))^4 - R_o^2)} \quad (6.22)$$

$$C = \frac{M_n \left(\frac{-I}{4} \sqrt{\frac{K}{\kappa}}; \frac{n}{2}; \sqrt{K\kappa} \rho_o^2 I \right)}{W_n \left(\frac{-I}{4} \sqrt{\frac{K}{\kappa}}; \frac{n}{2}; \sqrt{K\kappa} \rho_o^2 I \right)} \quad (6.23)$$

$$Z(k_{mn}) = W_n \left(\frac{-I}{4} \sqrt{\frac{K}{\kappa}}; \frac{n}{2}; \sqrt{K\kappa} \rho_o^2 I \right) M_n \left(\frac{-I}{4} \sqrt{\frac{K}{\kappa}}; \frac{n}{2}; \sqrt{K\kappa} R_o^2 I \right) - M_n \left(\frac{-I}{4} \sqrt{\frac{K}{\kappa}}; \frac{n}{2}; \sqrt{K\kappa} \rho_o^2 I \right) W_n \left(\frac{-I}{4} \sqrt{\frac{K}{\kappa}}; \frac{n}{2}; \sqrt{K\kappa} R_o^2 I \right) \quad (6.24)$$

onde A_{mn} corresponde à amplitude modal; M_n , à função hipergeométrica confluyente Whittaker M; W_n , à função hipergeométrica confluyente Whittaker W (Wolfram mathworld, 2008); m , ao número de semi-ondas radiais; n , ao número de ondas circunferenciais; k_{mn} , à m -ésima raiz de $Z(k_{mn})$; ω_{mn} , à frequência de vibração e $r'_o(R_o) = \frac{dr_o(R_o)}{d\rho}$.

A função hipergeométrica confluyente Whittaker do tipo W é dada por (Wolfram mathworld, 2008):

$$W_n(\alpha; \beta; x) = x^{0.5+\beta} e^{-x/2} U(\alpha; \beta; x) \quad (6.25)$$

onde $U(\alpha, \beta, x)$ é a função hipergeométrica confluyente de segundo tipo.

Substitui-se o deslocamento transversal (6.21) na equação de movimento (6.19) e aplica-se o método de Galerkin. Da solução do problema de autovalor resultante, obtém-se a frequência natural da membrana anular com massa específica variável.

As frequências e os modos de vibração lineares foram calculados através da formulação analítica e comparados com os resultados obtidos pelo método dos elementos finitos para uma membrana anular de raio interno $\rho_o = 0.20$.

Para a solução via método dos elementos finitos, utiliza-se uma malha com 2304 elementos de membrana M3D4R que gera um sistema com 7128 equações. Os resultados obtidos pela formulação analítica (AN) e por elementos finitos (MEF) para diferentes valores de κ são comparados na Tabela 6.3.

Tabela 6.3 – Frequências de vibração lineares (rad/s) para a membrana anular com massa específica variável na direção radial ($\rho_o = 0.20 m$).

$\kappa = -0.5$							
m	n	$\delta = 1.1$		$\delta = 1.5$		$\delta = 2.0$	
		AN	MEF	AN	MEF	AN	MEF
1	0	35.472	36.108	51.101	50.697	53.259	52.303
1	1	39.519	39.776	56.931	56.289	59.336	58.189
1	2	49.197	48.765	70.872	69.738	73.863	72.268
$\kappa = 0.5$							
m	n	$\delta = 1.1$		$\delta = 1.5$		$\delta = 2.0$	
		AN	MEF	AN	MEF	AN	MEF
1	0	29.486	29.759	42.254	41.888	44.038	43.235
1	1	32.462	32.599	46.765	46.215	48.740	47.787
1	2	39.720	39.366	57.220	56.307	59.636	58.340
$\kappa = 0.595$							
m	n	$\delta = 1.1$		$\delta = 1.5$		$\delta = 2.0$	
		AN	MEF	AN	MEF	AN	MEF
1	0	29.038	29.305	41.216	41.256	42.536	42.584
1	1	31.925	32.089	45.533	45.497	47.039	47.045
1	2	38.703	38.709	55.554	55.367	57.466	57.366

Observa-se que os valores das frequências obtidos pelos dois métodos são concordantes, tendo uma menor variação nos primeiros modos de vibração.

Os modos de vibração possuem a mesma forma que os apresentados na Figura 6.9.

Os valores para o parâmetro de frequência,

$$\bar{\omega} = \omega_{mn} \sqrt{\frac{\Gamma_o (r'_o(R_o))^3 R_f^3}{2C_1 (R_f^2 (r'_o(R_o))^4 - R_o^2)}}, \text{ obtidos com os resultados deste trabalho}$$

são favoravelmente comparados com os resultados apresentados por Bala Subrahmanyam e Sujith (2001) na Tabela 6.4.

Tabela 6.4 – Parâmetro da frequência de vibração $\bar{\omega}$ para a membrana anular com massa específica variável na direção radial ($\rho_0 = 0.20 m$).

$$\bar{\omega} = \omega_{mn} \sqrt{\frac{\Gamma_o (r'_o(R_o))^3 R_f^3}{2C_1 (R_f^2 (r'_o(R_o))^4 - R_o^2)}}$$

κ	Bala <i>et al</i> (2001)	AN	MEF
0.5	3.4969	3.5155	3.5480
1.0	3.2431	3.2431	3.2873
1.5	3.0538	3.0358	3.0749

Na Figura 6.30 apresenta-se uma relação entre a frequência de vibração e o coeficiente de tração radial (δ) da membrana para diferentes distribuições da massa específica. Observa-se que quanto maior o valor do coeficiente da massa específica (κ), ou seja, quanto maior a massa da membrana próximo ao bordo externo, menores são as frequências de vibração.

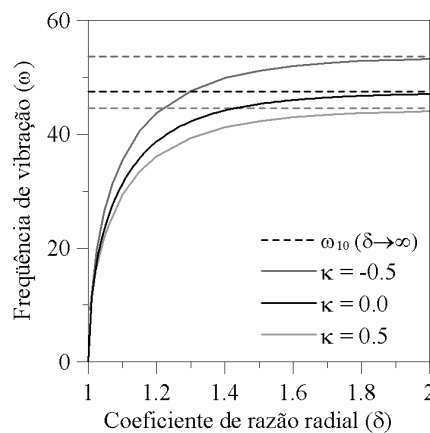


Figura 6.30 - Frequência de vibração (ω_{10}) em função do coeficiente de tração radial para diferentes variações da massa específica ($\rho_0 = 0.20 m$).

Apresenta-se na Figura 6.31 a variação da menor frequência de vibração com δ para membranas com raio interno diferentes. Observa-se que, quanto maior o raio interno maiores são as frequências.

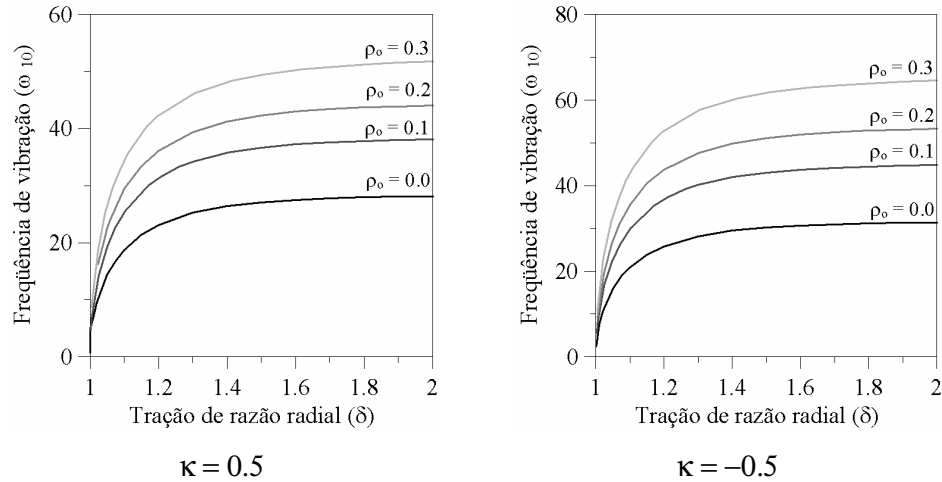


Figura 6.31 - Frequência de vibração (ω_{10}) em função do coeficiente de tração radial para diferentes valores do raio interno.

A relação entre a frequência de vibração e o coeficiente de variação da massa específica (κ) da membrana para diferentes valores de δ é apresentada na Figura 6.32. Observa-se uma diminuição na frequência natural com o aumento do valor do coeficiente de variação da massa específica e com δ .

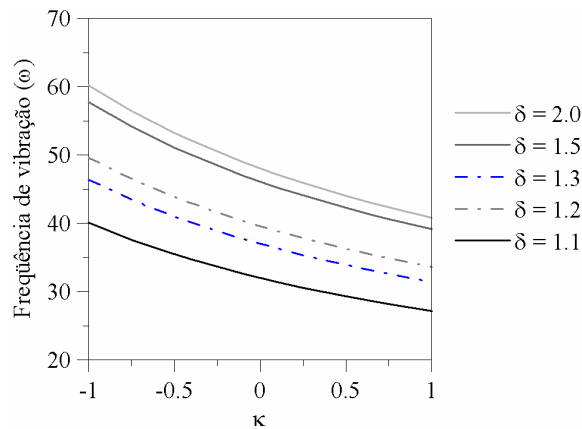


Figura 6.32 - Frequência de vibração (rad/s)-coeficiente de variação da massa específica ($\rho_o = 0.20 m$).

6.2.2. Análise não linear da vibração livre

Na análise das vibrações não lineares da membrana anular os deslocamentos u e v são desprezados e a equação de movimento não linear da direção transversal da membrana circular com massa específica variável é dada por:

$$-\frac{\partial}{\partial \rho} \left(\rho \frac{\partial W}{\partial z, \rho} \right) - \frac{\partial}{\partial \theta} \left(\rho \frac{\partial W}{\partial z, \theta} \right) + \rho \Gamma_o (1 + \kappa \rho^2) \frac{\partial^2 w}{\partial t^2} = 0 \quad (6.26)$$

Então, aproxima-se a resposta não linear pela resposta linear (5.5) e utiliza-se o método de Galerkin-Urabe para se obter a relação frequência de vibração-amplitude associada à menor frequência natural ($m = 1$ e $n = 0$) que é apresentada na Figura 6.33 para diferentes valores do coeficiente de variação da massa específica κ . Observa-se que para valores crescentes de κ as frequências de vibração aumentam, deslocando a curva para a direita.

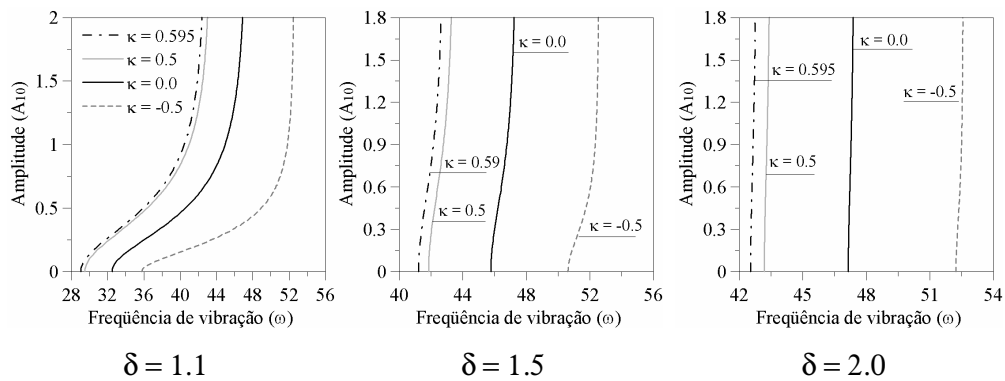


Figura 6.33 - Relação frequência (rad/s) - amplitude (m) para vibração livre da membrana anular com diferentes valores de κ ($\rho_o = 0.20 m$).

A relação normalizada frequência – deslocamento transversal para um ponto de coordenadas (0; 0.5) da membrana indeformada, para diferentes valores de κ e com $\delta = 1.1$ e $\rho_o = 0.20 m$ é apresentada na Figura 6.34.

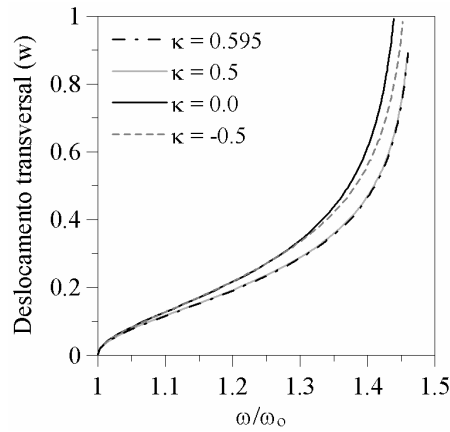


Figura 6.34 - Relação normalizada frequência – deslocamento transversal (w) da membrana anular ($\delta = 1.10$; $\rho_0 = 0.20 m$).

Observa-se que para pequenos deslocamentos as curvas com diferentes valores de κ se sobrepõem, mas tendem a diferentes valores de ω/ω_0 à medida que w cresce. Verifica-se que a menor não-linearidade ocorre para a membrana de densidade constante ($\kappa = 0.0$).

Na Figura 6.35 ilustra-se relação frequência de vibração - amplitude modal para diferentes valores da razão de tração radial com $\kappa = 0.5$.

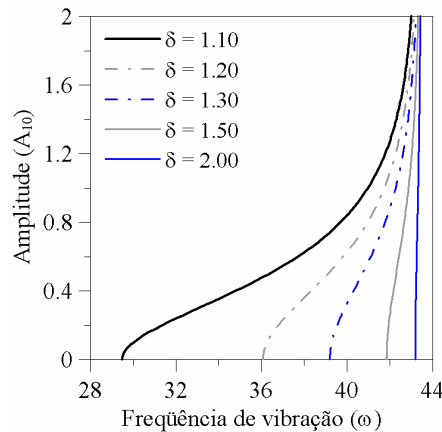


Figura 6.35 - Relação frequência (rad/s) – amplitude (m) para vibração livre da membrana anular com diferentes valores de δ ($\kappa = 0.5$; $\rho_0 = 0.20 m$)

Verifica-se, para a membrana anular, o mesmo tipo de comportamento *hardening* notado para a membrana circular.

Na Figura 6.36 mostra-se a relação normalizada frequência-deslocamento da membrana com diferentes valores de δ . Novamente, observa-se que, quanto mais tracionada a membrana, menor o grau de não-linearidade da resposta.

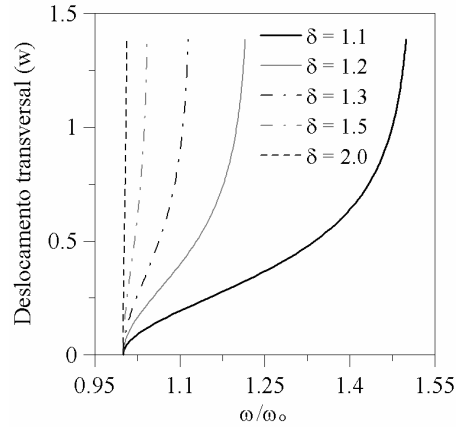


Figura 6.36 - Relação normalizada frequência – deslocamento transversal (m) da membrana anular ($\kappa = 0.5$; $\rho_0 = 0.20 m$).

A relação frequência – deslocamento também é obtida a partir da resposta no tempo, encontrada por elementos finitos. Essa relação é favoravelmente comparada com a relação obtida analiticamente, para um ponto de coordenadas (0.5; 0) da membrana indeformada, para duas variações da massa específica. Esses resultados são apresentados na Figura 6.37.

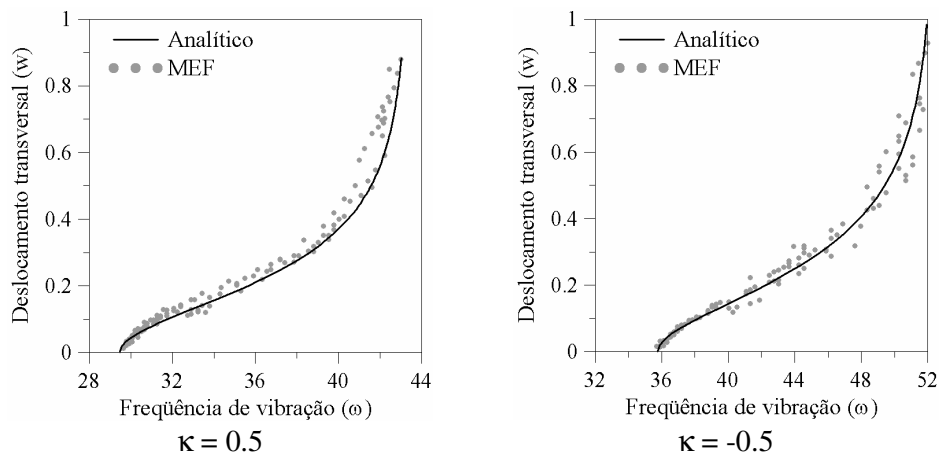


Figura 6.37 - Relação frequência de vibração (rad/s) - deslocamento transversal (m) ($\delta = 1.10$; $\rho_0 = 0.20 m$)

Para a solução por elementos finitos é utilizado um modelo com uma malha com 2880 elementos de casca S4R e S3 que gera um sistema com 8643 equações.

6.3.

Variação da espessura na direção radial da membrana anular

Para a membrana com espessura variável considerou-se que a variação da espessura na direção radial da configuração indeformada é dado por:

$$h(\rho) = h_o \exp(\eta \rho^2) \tag{6.27}$$

onde, como no capítulo 5, h_o é um valor de referência e η é uma constante que descreve a variação da espessura ao longo do raio indeformado.

6.3.1.

Análise estática

A solução estática da membrana com espessura variável sob deslocamento radial uniforme é obtida através da integração numérica das equações (3.36) e (3.37) atendendo as condições de contorno (3.38) e (3.39).

Para a solução via método dos elementos finitos, utiliza-se, no programa comercial Abaqus®, 1152 elementos sólidos tri-dimensionais C3D8RH que gera um sistema com 8496 equações.

Dessa forma, obteve-se a configuração tracionada da membrana anular com raio interno $\rho_o = 0.20 \text{ m}$ e diferentes valores de δ . Na Figura 6.38 apresenta-se a variação do comprimento radial tracionado obtido pela integração numérica (IN) e pelo método dos elementos finitos (MEF), para membranas anulares com três valores de δ e coeficiente de variação da espessura $\eta = 0.5$.

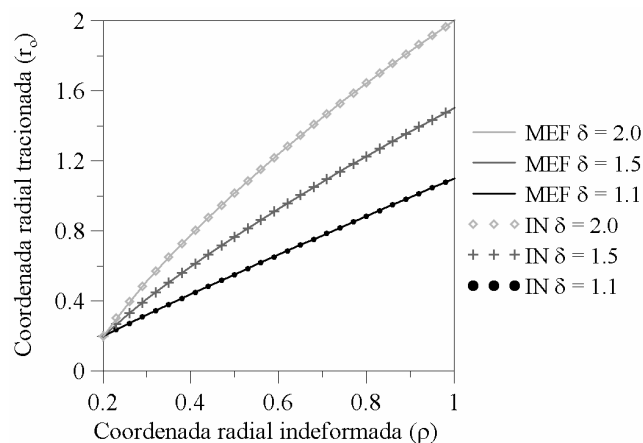


Figura 6.38 – Variação do comprimento radial tracionado da membrana anular com espessura variável ($\eta = 0.5$; $\rho_o = 0.20 \text{ m}$).

Para visualizar a influência da variação radial da espessura ao longo do raio tracionado (r_o), apresenta-se na Figura 6.39 a variação do deslocamento radial após a aplicação da tração radial na membrana anular para diferentes valores do coeficiente de variação da espessura. Os valores apresentados são os obtidos pela integração numérica.

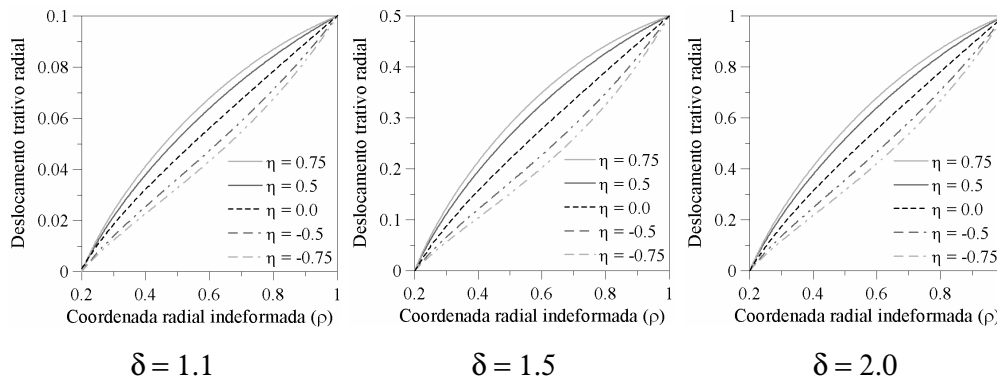


Figura 6.39 – Variação do deslocamento radial (m) da membrana anular com espessura variável para diferentes valores de η ($\rho_o = 0.20 m$).

Uma função que representa a variação da coordenada radial tracionada é então determinada através do método dos mínimos quadrados, sendo dada por:

$$r_o(\rho) = a_1 \rho^2 + a_2 \rho^2 \ln(\rho) + a_3 \rho + a_4 \ln(\rho) + a_5 \tag{6.28}$$

onde a_i são constantes que dependem da configuração tracionada da membrana.

As membranas anulares com raio interno $\rho_o = 0.20 m$ apresentadas na Figura 6.39 apresentam as seguintes distribuições radiais:

$$\begin{aligned} \delta=1.1 \quad \eta = 0.75 \quad r_o(\rho) &= 0.061\rho^2 - 0.072\rho^2 \ln(\rho) + 0.944\rho + 0.056\ln(\rho) + 0.095 \\ \eta = 0.50 \quad r_o(\rho) &= 0.095\rho^2 - 0.086\rho^2 \ln(\rho) + 0.909\rho + 0.055\ln(\rho) + 0.096 \\ \eta = -0.50 \quad r_o(\rho) &= 0.003\rho^2 + 0.057\rho^2 \ln(\rho) + 1.071\rho + 0.0220\ln(\rho) + 0.025 \\ \eta = -0.75 \quad r_o(\rho) &= -0.098\rho^2 + 0.157\rho^2 \ln(\rho) + 1.219\rho + 0.050\ln(\rho) + 0.022 \end{aligned} \tag{6.29}$$

$$\begin{aligned} \delta=1.5 \quad \eta = 0.75 \quad r_o(\rho) &= -0.011\rho^2 - 0.175\rho^2 \ln(\rho) + 1.171\rho + 0.239\ln(\rho) + 0.340 \\ \eta = 0.50 \quad r_o(\rho) &= 0.289\rho^2 - 0.332\rho^2 \ln(\rho) + 0.809\rho + 0.246\ln(\rho) + 0.401 \\ \eta = -0.50 \quad r_o(\rho) &= 0.050\rho^2 + 0.386\rho^2 \ln(\rho) + 1.462\rho + 0.095\ln(\rho) + 0.088 \\ \eta = -0.75 \quad r_o(\rho) &= -0.011\rho^2 + 0.974\rho^2 \ln(\rho) + 2.304\rho + 0.001\ln(\rho) - 0.174 \end{aligned} \tag{6.30}$$

$$\begin{aligned}
 \eta = 0.75 \quad r_o(\rho) &= 0.498\rho^2 - 0.706\rho^2 \ln(\rho) + 0.0676\rho + 0.513\ln(\rho) + 0.825 \\
 \eta = 0.50 \quad r_o(\rho) &= 0.619\rho^2 - 0.675\rho^2 \ln(\rho) + 0.636\rho + 0.459\ln(\rho) + 0.744 \\
 \delta = 2.0 \quad \eta = -0.50 \quad r_o(\rho) &= 0.153\rho^2 + 0.487\rho^2 \ln(\rho) + 1.585\rho + 0.219\ln(\rho) + 0.262 \\
 \eta = -0.75 \quad r_o(\rho) &= -0.586\rho^2 + 1.306\rho^2 \ln(\rho) + 2.673\rho + 0.086\ln(\rho) - 0.087
 \end{aligned}
 \tag{6.31}$$

Os valores das tensões principais σ_1 e σ_2 da membrana anular com $\delta = 1.10$ e diferentes valores do coeficiente de variação da espessura, obtidos através da integração numérica e por elementos finitos, são comparados favoravelmente na Figura 6.40.

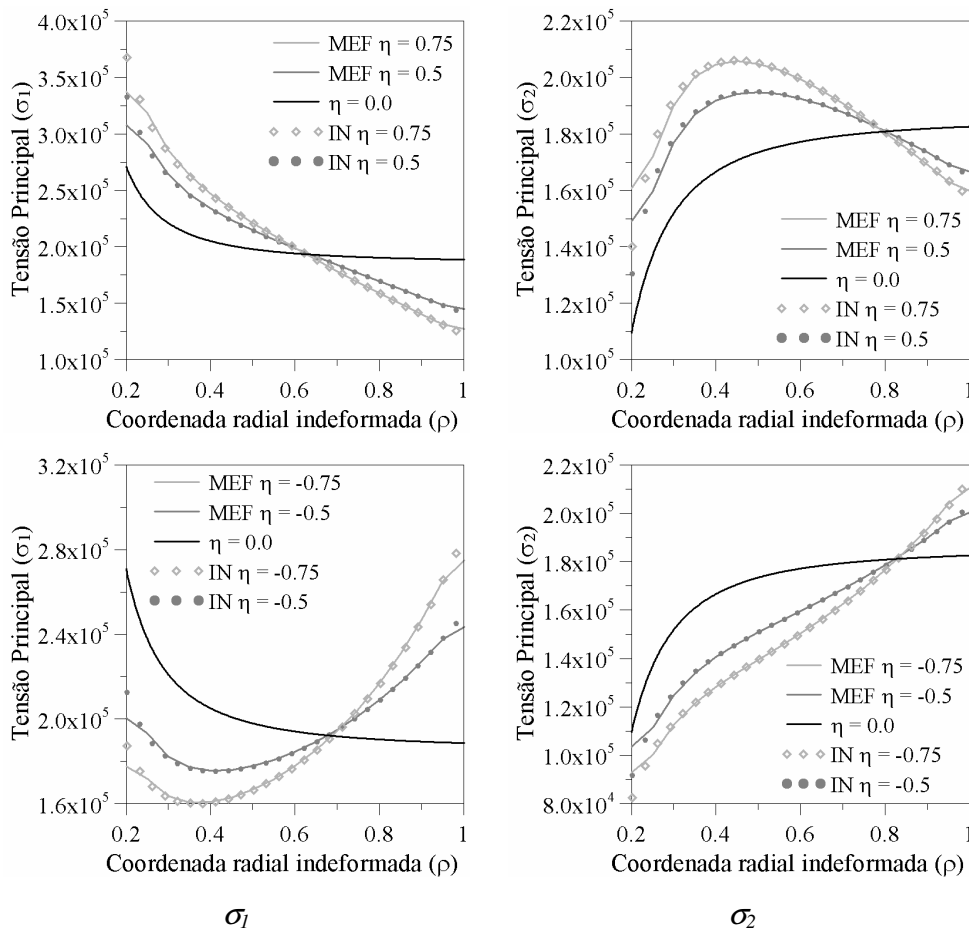


Figura 6.40 – Tensões principais (N/m^2) da membrana anular tracionada com espessura variável para diferentes valores de η . ($\delta = 1.10$; $\rho_o = 0.20 m$).

Observa-se na Figura 6.40 que para uma variação com aumento da espessura, ao longo da direção radial ($\eta > 0$), os valores das tensões principais diminuem em direção a borda externa da membrana. Enquanto que, para uma variação com diminuição da espessura na direção radial ($\eta < 0$), os valores das tensões principais aumentam. Quanto maior é a variação de η , maior é a variação das tensões ao longo da direção radial. Observa-se neste caso uma variação de tensões bem mais complexa que nos casos anteriores.

6.3.2. Análise linear da vibração livre

Para a análise linear da vibração livre, parte-se da equação de movimento linear na direção transversal da membrana dada em (3.42) que para este caso se reduz à seguinte equação diferencial parcial com coeficientes variáveis:

$$\begin{aligned}
 & 2C_1 \left[\left(-1 + \frac{\rho^2}{r_o'^4 r_o^2} \right) \frac{\partial^2 w(\rho, \theta, t)}{\partial \rho^2} + \left(-\frac{1}{\rho^2} + \frac{\rho^2}{r_o'^2 r_o^4} \right) \frac{\partial^2 w(\rho, \theta, t)}{\partial \theta^2} + \right. \\
 & \left. + \left(-\frac{1}{\rho} - \frac{4\rho^2 r_o''}{r_o'^5 r_o^2} + \frac{3\rho}{r_o'^4 r_o^2} - \frac{2\rho^2}{r_o'^3 r_o^3} + \frac{2\rho^3 \eta}{r_o'^4 r_o^2} - 2\rho\eta \right) \frac{\partial w(\rho, \theta, t)}{\partial \rho} \right] + \\
 & + \Gamma \left(\frac{\partial^2 w(\rho, \theta, t)}{\partial t^2} \right) = 0
 \end{aligned} \tag{6.32}$$

onde r_o é dado por (6.28).

Novamente, utiliza-se da mesma metodologia de separação de variáveis, usada para a membrana circular e apresentada no capítulo 5. Dessa forma, obtém-se uma equação semelhante à equação diferencial de Whittaker (Abramowitz e Stegun, 1972), dada em (5.16). Utilizando a solução da equação diferencial de Whittaker juntamente com as condições de contorno do problema obtém-se a seguinte aproximação para o deslocamento transversal da membrana circular:

$$\begin{aligned}
 w(\rho, \theta, t) = & A_{mn} \cos(n\theta) \cos(\omega_{mn} t) \frac{e^{-0.5\eta\rho^2}}{\rho} * \\
 & \left[M_n \left(\frac{-1}{2} - \frac{\Gamma b_{mn}}{4B\eta}, \frac{n}{2}; -\eta\rho^2 \right) - CW_n \left(\frac{-1}{2} - \frac{\Gamma b_{mn}}{4B\eta}, \frac{n}{2}; -\eta\rho^2 \right) \right]
 \end{aligned} \tag{6.33}$$

sendo:

$$B = \frac{(r'_o(R_o))^3 R_f^3}{2 C_1 R_o (R_f^2 (r'_o(R_o))^4 - R_o^2)} \quad (6.34)$$

$$C = \frac{M_n \left(\frac{-1}{2} - \frac{\Gamma b_{mn}}{4 B \eta}; \frac{n}{2}; -\eta \rho_o^2 \right)}{W_n \left(\frac{-1}{2} - \frac{\Gamma b_{mn}}{4 B \eta}; \frac{n}{2}; -\eta \rho_o^2 \right)} \quad (6.35)$$

$$Z(b_{mn}) = W_n \left(\frac{-1}{2} - \frac{\Gamma b_{mn}}{4 B \eta}; \frac{n}{2}; -\eta \rho_o^2 \right) M_n \left(\frac{-1}{2} - \frac{\Gamma b_{mn}}{4 B \eta}; \frac{n}{2}; -\eta R_o^2 \right) - M_n \left(\frac{-1}{2} - \frac{\Gamma b_{mn}}{4 B \eta}; \frac{n}{2}; -\eta \rho_o^2 \right) W_n \left(\frac{-1}{2} - \frac{\Gamma b_{mn}}{4 B \eta}; \frac{n}{2}; -\eta R_o^2 \right) \quad (6.36)$$

onde A_{mn} corresponde à amplitude modal; M_n é a função hipergeométrica confluyente Whittaker M; W_n é a função hipergeométrica confluyente Whittaker W; m , o número de semi-ondas radiais; n , o número de ondas circunferenciais; b_{mn} é a m -ésima raiz de $Z(b_{mn})$; ω_{mn} é a frequência de vibração e $r'_o(R_o) = \frac{dr_o(R_o)}{d\rho}$.

Substitui-se o deslocamento transversal (6.33) na equação de movimento (6.32), aplica-se o método de Galerkin e da solução do problema de auto-valor resultante obtêm-se as frequências naturais da membrana anular com espessura variável.

As frequências e os modos de vibração lineares são comparados com os resultados obtidos pelo método dos elementos finitos. Para a solução via método dos elementos finitos, utiliza-se a mesma malha empregada na análise estática com elementos sólidos tri-dimensionais C3D8RH. Os resultados analíticos (AN) e obtidos por elementos finitos (MEF) são comparados na Tabela 6.5

Apresenta-se na Figura 6.41 a variação da frequência de vibração ω_{10} com a tração radial (δ) da membrana para três diferentes leis de variação da espessura. Novamente, observa-se um grande aumento na frequência natural para pequenos valores de δ .

Tabela 6.5 – Frequências de vibração lineares (rad/s) para a membrana anular com raio interno $\rho_0 = 0.20 m$ e espessura variável na direção radial.

$\eta = -0.75$							
m	n	$\delta = 1.1$		$\delta = 1.5$		$\delta = 2.0$	
		AN	MEF	AN	MEF	AN	MEF
1	0	31.129	31.015	44.079	43.301	45.936	44.948
1	1	34.079	34.052	47.719	48.147	49.522	50.205
1	2	41.982	41.512	59.632	59.634	62.161	62.461
$\eta = -0.5$							
m	n	$\delta = 1.1$		$\delta = 1.5$		$\delta = 2.0$	
		AN	MEF	AN	MEF	AN	MEF
1	0	31.701	31.639	44.563	44.190	46.121	45.665
1	1	34.702	34.726	48.719	49.045	50.367	50.884
1	2	42.636	42.270	60.580	60.536	62.863	63.061
$\eta = 0.5$							
m	n	$\delta = 1.1$		$\delta = 1.5$		$\delta = 2.0$	
		AN	MEF	AN	MEF	AN	MEF
1	0	33.190	33.034	46.902	46.804	48.771	48.814
1	1	35.920	36.204	52.126	51.595	54.569	53.778
1	2	43.723	43.778	63.452	62.862	66.308	65.401
$\eta = 0.75$							
m	n	$\delta = 1.1$		$\delta = 1.5$		$\delta = 2.0$	
		AN	MEF	AN	MEF	AN	MEF
1	0	33.472	32.224	47.416	47.518	49.603	49.628
1	1	35.911	36.284	52.744	52.186	55.769	54.526
1	2	43.631	43.802	63.874	63.235	67.284	66.096

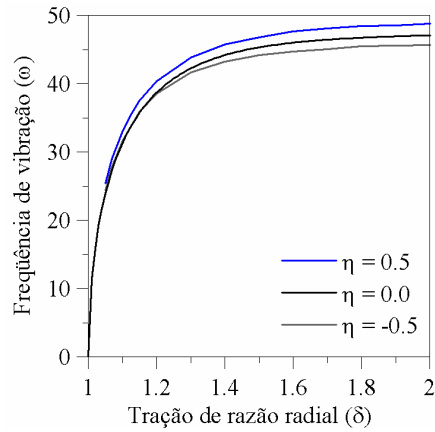


Figura 6.41 - Frequência de vibração (rad/s) - razão de tração radial para diferentes variações da espessura da membrana anular ($\rho_o = 0.20 m$).

Na Figura 6.42 apresenta-se a influência do coeficiente de variação espessura (η) na menor frequência de vibração da membrana com raio interno $\rho_o = 0.20 m$. Observa-se um aumento dos valores da frequência natural com o aumento do valor de η . Isso ocorre devido ao aumento da espessura para valores crescentes de η e, conseqüentemente, da rigidez da membrana, o que proporciona um aumento da frequência de vibração. Deve-se lembrar que ocorre também um aumento da massa que é, entretanto, compensada pelo maior aumento de rigidez.

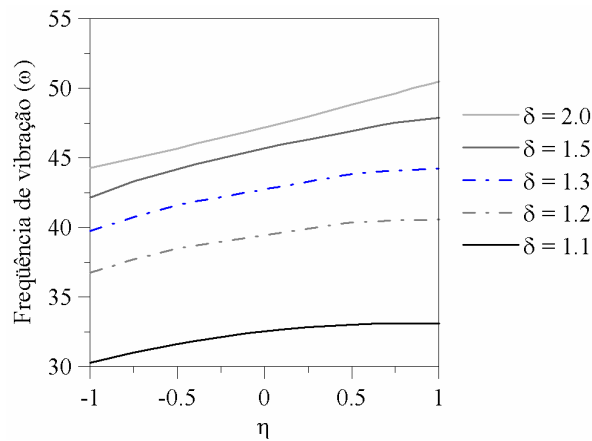


Figura 6.42 - Frequência de vibração (rad/s) em função do coeficiente de variação da espessura η para diferentes valores de δ ($\rho_o = 0.20 m$).

6.3.3. Análise não linear da vibração livre

Desprezando os deslocamentos u e v com base nos resultados obtidos por elementos finitos, a equação de movimento não linear na direção transversal da membrana anular com espessura variável se reduz a:

$$-2\eta\rho\frac{\partial W}{\partial z,\rho}-\frac{\partial}{\partial\rho}\left(\rho\frac{\partial W}{\partial z,\rho}\right)-\frac{\partial}{\partial\theta}\left(\rho\frac{\partial W}{\partial z,\theta}\right)+\rho\Gamma\frac{\partial^2 w}{\partial t^2}=0 \quad (6.37)$$

Para a análise não linear aproxima-se a resposta não linear pela expressão (6.33) e utiliza-se o método de Galerkin-Urabe para se obter a relação frequência de vibração-amplitude associada à menor frequência natural ($m = 1$ e $n = 0$).

Essa relação é apresentada na Figura 6.43 para membrana anulares com raio interno $\rho_0 = 0.20\ m$ e com diferentes valores do coeficiente de variação da espessura η . Observa-se que, para valores crescentes de η , as frequências de vibração aumentam deslocando a curva para a direita.

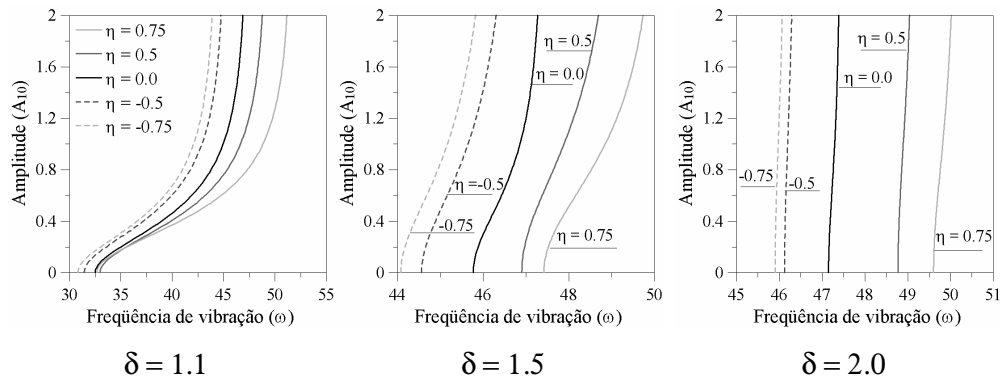


Figura 6.43 - Relação frequência (rad/s) – amplitude (m) para vibração livre da membrana anular com diferentes valores de η ($\rho_0 = 0.20\ m$).

Na Figura 6.44 ilustra-se a relação frequência de vibração-amplitude modal para diferentes valores da razão de tração radial com $\eta = 0.5$. Verifica-se o mesmo tipo de comportamento *hardening* observado nas membranas circulares.

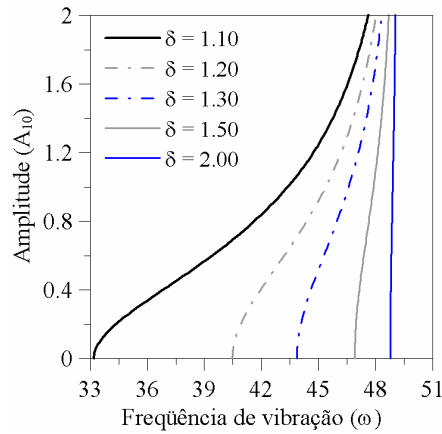


Figura 6.44 - Relação frequência (rad/s) - amplitude (m) para vibração livre da membrana anular com diferentes valores de δ ($\eta = 0.5$; $\rho_o = 0.20 m$).

Na Figura 6.45 mostra-se a relação normalizada frequência-deslocamento da membrana para um ponto de coordenadas $(0; 0.5)$ da membrana indeformada com raio interno $\rho_o = 0.20 m$. Novamente verifica-se que, quanto mais tracionada a membrana, menor o grau de não-linearidade da resposta.

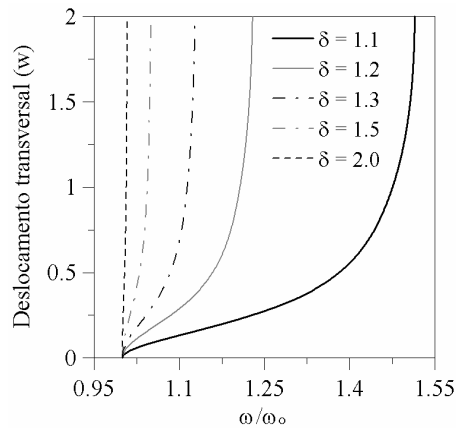


Figura 6.45 - Relação normalizada frequência – deslocamento transversal (m) da membrana anular ($\eta = 0.5$; $\rho_o = 0.20 m$).

A relação normalizada frequência-deslocamento transversal da membrana anular com raio interno $\rho_o = 0.20 m$, $\delta = 1.1$ e valores crescentes de η é apresentada na Figura 6.46. Observa-se que as curvas com diferentes valores de η se sobrepõe inicialmente, mas tendem a diferentes valores de ω/ω_o à medida que o deslocamento transversal cresce. Nota-se que o grau de não-linearidade é uma função de η sendo a maior não-linearidade observada para $\eta = 0.75$.

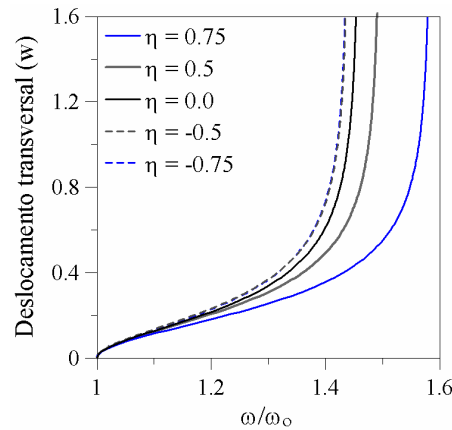


Figura 6.46 - Relação normalizada frequência-deslocamento transversal (m) da membrana circular ($\delta = 1.1$; $\rho_o = 0.20 m$).

A relação frequência-deslocamento também é obtida a partir da resposta no tempo obtida por elementos finitos juntamente com a metodologia proposta por Nandakumar e Chatterjee (2005) e é favoravelmente comparada com a relação obtida analiticamente, para um ponto de coordenadas (0.5; 0) da membrana indeformada e para duas variações da massa específica na Figura 6.47.

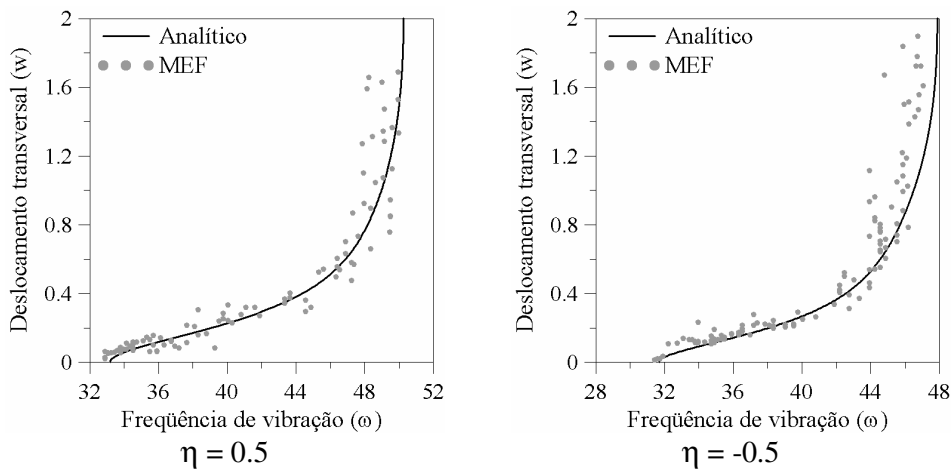


Figura 6.47 - Relação frequência de vibração (rad/s) - deslocamento transversal (m) ($\delta = 1.1$; $\rho_o = 0.20 m$).

Como a membrana anular com coeficiente de variação da espessura $\eta = 0.5$ possui a mesma massa total que a membrana anular com coeficiente de variação de massa específica $\kappa = 0.595$, comparam-se as suas relações normalizadas frequência-deslocamento na Figura 6.48. A frequência de vibração foi normalizada com relação à frequência natural de cada caso e o deslocamento apresentado é no ponto de coordenadas (0.5; 0) da membrana indeformada.

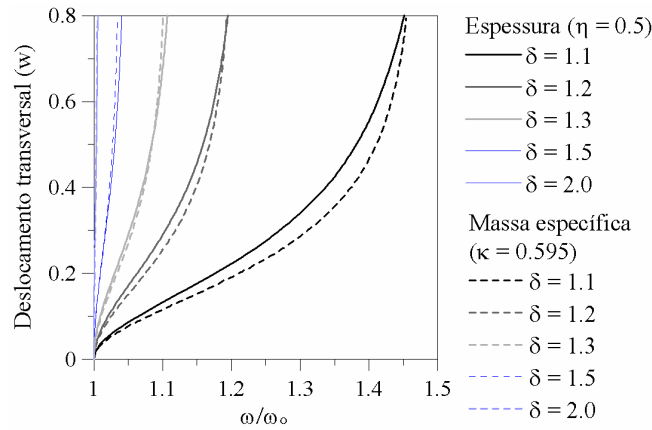


Figura 6.48 - Relação normalizada frequência – deslocamento transversal (m) da membrana anular com variação de espessura e massa específica ($\rho_0 = 0.20 m$).

Observa-se que, apesar da massa da membrana ser a mesma, os resultados do deslocamento não se sobrepõe, mas possuem valores bem próximos e com o mesmo comportamento global, sendo maior a não-linearidade observada para a variação da massa específica.

6.3.4. Análise não linear da vibração forçada

Novamente considera-se a vibração transversal axissimétrica provocada por uma pressão hidrostática uniforme dependente do tempo $P(t)$ e os campos de deslocamentos radial u e circunferencial v desprezíveis.

Assim, a equação de movimento não linear da membrana anular com espessura variável sob vibração forçada axissimétrica é dada por:

$$-2\eta\rho\frac{\partial W}{\partial z,\rho} - \frac{\partial}{\partial\rho}\left(\rho\frac{\partial W}{\partial z,\rho}\right) - \frac{\partial}{\partial\theta}\left(\rho\frac{\partial W}{\partial z,\theta}\right) + \rho\Gamma\frac{\partial^2 w}{\partial t^2} - \zeta C_c\frac{\partial w}{\partial t} - P(t)r_o\frac{dr_o}{d\rho} = 0 \quad (6.38)$$

onde a pressão excitadora $P(t)$ é dada em (4.29).

Como a vibração axissimétrica transversal é associada ao primeiro modo axissimétrico ($n = 0$ e $m = 1$), utiliza-se o deslocamento transversal (6.33) aproximado com $N = 0$ e aumentando o número de modos radiais ($M = 1, 2$ e 3).

Para obtenção dos resultados numéricos, consideram-se a força com amplitude excitação de $P_0 = 1 N/m^2$. A relação frequência de vibração-amplitude é apresentada na Figura 6.49 para diferentes valores do coeficiente de variação da espessura η .

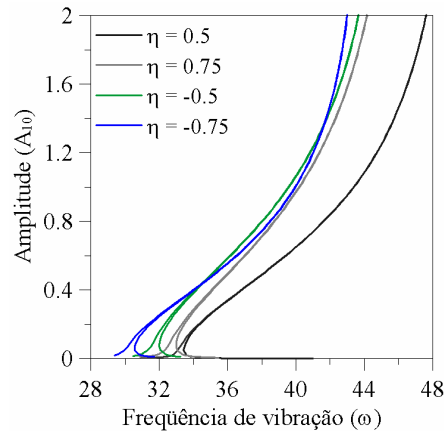


Figura 6.49 - Relação frequência (rad/s) – amplitude (m) para vibração forçada da membrana anular com diferentes valores de η ($\delta = 1.1$; $\rho_o = 0.20 m$).

As curvas de ressonância para diferentes valores de δ são apresentadas na Figura 6.50 para uma variação da espessura com $\eta = 0.5$. Observa-se que as curvas tendem a um mesmo valor constante para grandes amplitudes de vibração.

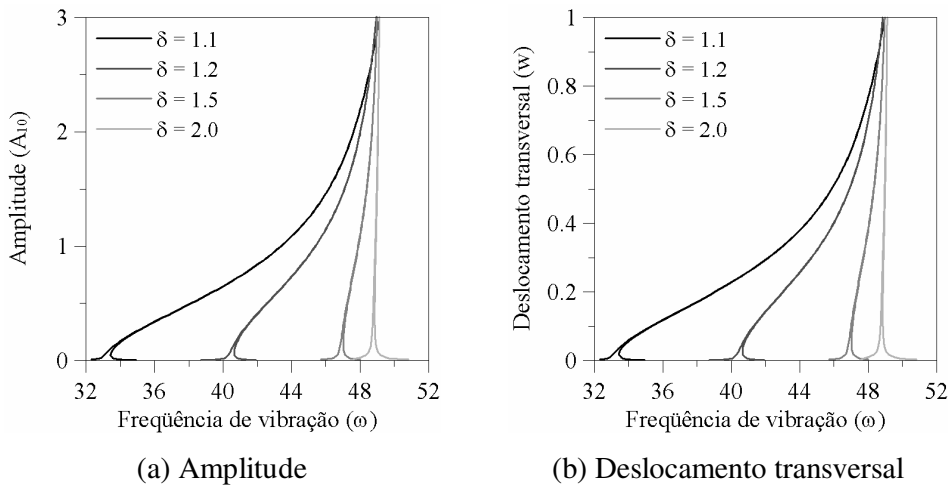


Figura 6.50 – Curva de ressonância para a vibração forçada da membrana anular com espessura variável com diferentes δ . ($\eta = 0.5$; $\rho_o = 0.20 m$)

O método de continuação é utilizado para o cálculo dos diagramas de bifurcação do mapa de Poincaré da membrana anular tracionada. Os diagramas de bifurcação são apresentadas na Figura 6.51, para uma membrana anular com $\rho_o = 0.20 m$, $\delta = 1.1$ considerando $P_o = 1 N/m^2$ e três diferentes valores de η .

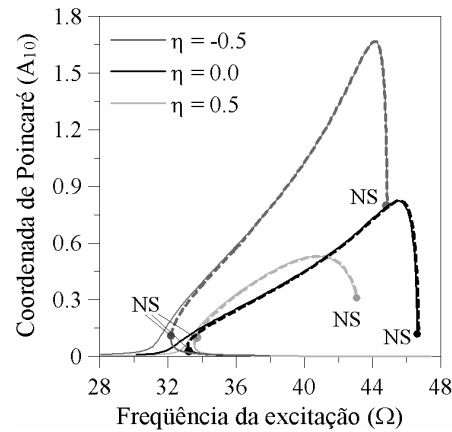


Figura 6.51 – Diagrama de bifurcação. Coordenada de Poincaré A_{10} (m) como função da frequência de excitação Ω (rad/s) ($P_o = 1 \text{ N/m}^2$; $\zeta = 0.05$; $\delta = 1.1$; $\rho_o = 0.20 \text{ m}$).

Observa-se que, dependendo do valor de P_o e Ω , a membrana pode exibir uma ou três respostas e que os ramos estáveis e instáveis estão conectados por bifurcações do tipo nó-sela (NS nas figuras).

Na Figura 6.52 apresenta-se o diagrama de bifurcação que tem como parâmetro de controle a magnitude da força P_o para valores selecionados de Ω na região principal de ressonância e dois valores de η . Observam-se em cada caso duas bifurcações do tipo nó-sela e que para o caso onde $\eta = 0.5$ a faixa da magnitude da carga onde as soluções instáveis existem é menor.

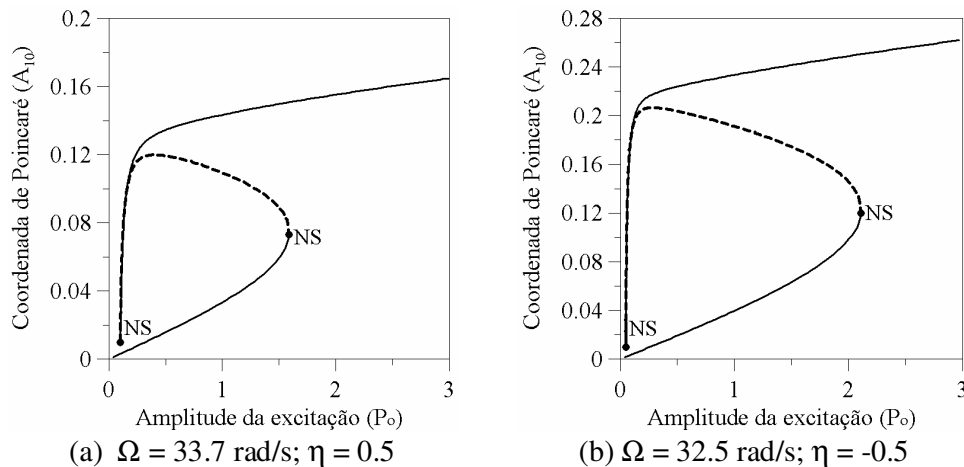


Figura 6.52 – Diagramas de bifurcação para valores selecionados da frequência de excitação. Coordenada de Poincaré A_{10} (m) como função da amplitude da excitação P_o (N/m^2) ($\zeta = 0.05$; $\delta = 1.1$; $\rho_o = 0.20 \text{ m}$).

A influência do amortecimento é ilustrada na Figura 6.53 onde os diagramas de bifurcação são obtidos com diferentes valores de amortecimento. Observa-se o mesmo comportamento anteriormente observado para a membrana circular.

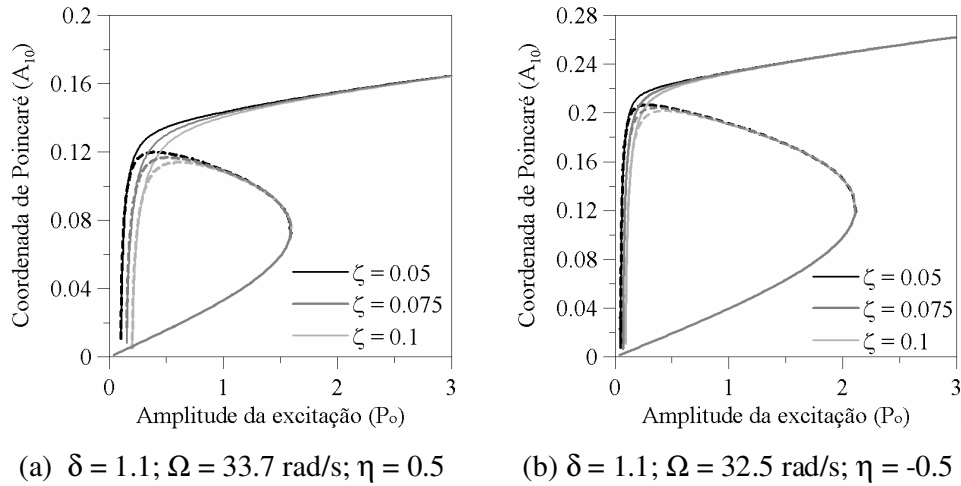


Figura 6.53 – Diagramas de bifurcação com diferentes valores de amortecimento. Coordenada de Poincaré A_{10} (m) como função da amplitude da excitação P_0 (N/m^2) ($\rho_0 = 0.20 \text{ m}$).

Na Figura 6.54 apresenta-se diagramas de bifurcação em função da amplitude da excitação para diferentes valores da frequência da excitação para a membrana anular com raio interno $\rho_0 = 0.20 \text{ m}$, $\delta = 1.1$ e dois valores de η .

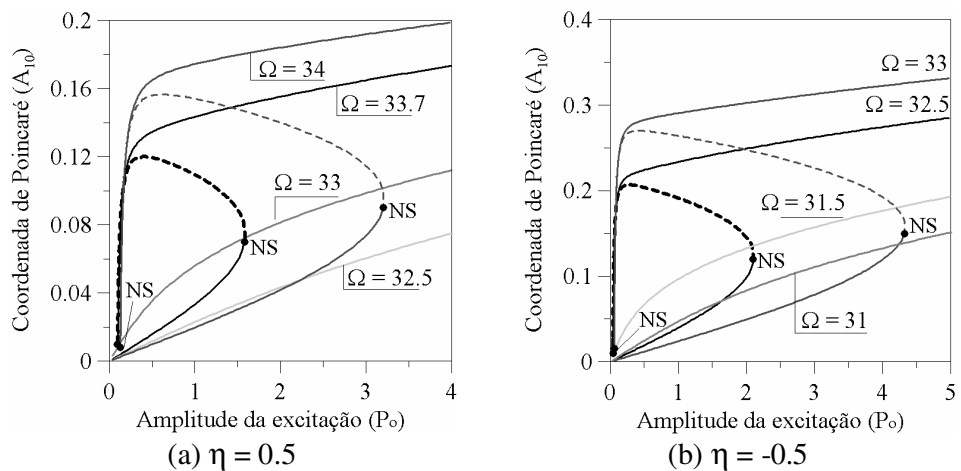


Figura 6.54 - Diagramas de bifurcação com diferentes valores da frequência de excitação. Coordenada de Poincaré A_{10} (m) em função da amplitude da excitação P_0 . (N/m^2) ($\delta = 1.1; \zeta = 0.05; \rho_0 = 0.20 \text{ m}$)

A Figura 6.55 ilustra as das bacias de atração para valores de parâmetros escolhidos de tal modo que a resposta permaneça na região principal de ressonância onde ocorrem três soluções. Essa figura corresponde à bacia de atração no plano fase $A_{10} \times \dot{A}_{10}$ e as cores diferentes correspondem aos atratores distintos (cinza escuro corresponde a bacia de atração da oscilação de grande amplitude e cinza claro corresponde a oscilação de pequena amplitude). Os atratores são realçados nas bacias pela cruz negra.

Nota-se que na região principal de ressonância a maioria das condições iniciais conduz a soluções que convergem para o atrator de maior amplitude.

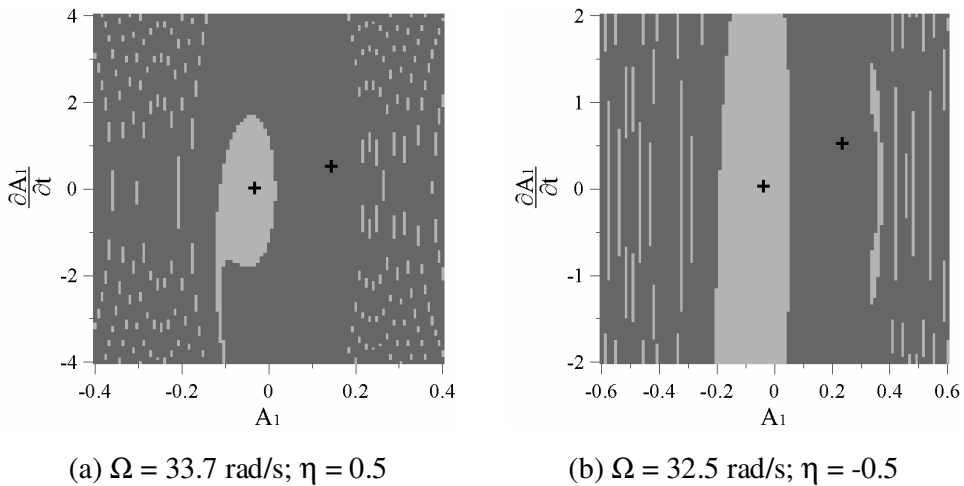


Figura 6.55 – Bacia de atração no plano fase das condições iniciais $A_{10} \times \dot{A}_{10}$
 ($P_o = 1 \text{ N/m}^2$; $\zeta = 0.05$; $\delta = 1.1$; $\rho_o = 0.20$).